Sections du fibré déterminant sur l'espace de modules des faisceaux semi-stables de rang 2 sur le plan projectif

Gentiana Danila

1 Avril 1999

Abstract: We provide supporting examples to Le Potier's Strange duality conjecture, in the case of the moduli space **M** of rank 2 semi-stable sheaves on the projective plane, with even first Chern class, and second Chern class less or equal to 19. We compute in this case the dimension of the space of global sections of the determinant bundle on **M**.

Key words and phrases. Moduli space, determinant bundle, strange duality.

Subject classification: 14D20, 14F05, 14J60.

Running heads : Sections du fibré déterminant pour le plan projectif

1 Introduction

Soit M l'espace de modules des faisceaux semi-stables de rang 2, et classes de Chern $c_1 = 0$, $c_2 = n$ sur le plan projectif complexe. On sait que M est une variété projective irréductible de dimension 4n - 3.

Soit F un faisceau semi-stable de rang 2, et classes de Chern $c_1 = 0$, $c_2 = n$ sur le plan projectif. On dit que la droite H est de saut pour F si la restriction de F à H n'est pas triviale. On montre que ([LeP-Durham],4.1, [Barth]) l'ensemble γ_F des droites de saut pour F est le support d'un faisceau cohérent Θ sur le plan projectif dual (l'espace des droites de \mathbb{P}_2). Ce faisceau est pur de dimension 1 et son support schématique est une courbe de degré n, appelé courbe des droites de saut de F. L'application qui associe à la classe de F la courbe γ_F définit un morphisme γ appelé morphisme des droites de saut $F \mapsto \gamma_F$:

$$\gamma: \mathbf{M} \to \mathbb{P}(\mathrm{H}^0(\mathbb{P}_2^*, \mathcal{O}_{\mathbb{P}_2^*}(n))) = \mathbb{P}_N$$

Le fibré déterminant de Donaldson sur \mathbf{M} , noté \mathcal{D} , est isomorphe à l'image réciproque $\gamma^*(\mathcal{O}(1))$ de $\mathcal{O}_{\mathbb{P}_N}(1)$ par γ . On en déduit un morphisme non nul γ^* sur les espaces de sections globales :

$$\gamma^*: \mathrm{H}^0(\mathbb{P}_2^*, \mathcal{O}(n))^* \to \mathrm{H}^0(\mathbf{M}, \mathcal{D})$$

si on tient compte du fait que $H^0(\mathbb{P}_N, \mathcal{O}(1)) \simeq H^0(\mathbb{P}_2^*, \mathcal{O}(n))^*$.

Le but de cet article est de démontrer le théorème suivant :

Théorème 1.1 Si $2 \le n = c_2 \le 19$, l'application linéaire canonique

$$\gamma^*: \mathrm{H}^0(\mathbb{P}_2^*, \mathcal{O}(n))^* \to \mathrm{H}^0(\mathbf{M}, \mathcal{D})$$

est un isomorphisme.

Cet énoncé répond partiellement à une question posée par A. Beauville, selon laquelle γ^* serait un isomorphisme pour tout $n \in \mathbb{N}$. Il fournit des exemples pour la conjecture de "Dualité étrange" de Le Potier.

Remarquons tout d'abord que, comme les deux membres sont des représentations de SL(3), et que le premier est une représentation irréductible, le morphisme est injectif, puisque équivariant et non nul. Il suffit donc de calculer la dimension du membre de droite pour conclure. Il suffit en outre de se placer dans le cas $n \geq 3$, puisque pour n = 0, l'espace \mathbf{M} est réduit à un point, pour n = 1, il est vide, et pour n = 2, γ est un isomorphisme [Barth2].

La structure de la démonstration est la suivante. On se fixe un entier positif l. On introduit la notion de système cohérent, qui consiste à considérer en même temps que le faisceau F, un sous-espace vectoriel Γ de son espace de sections $H^0(F)$. La dimension de Γ donne l'ordre du système cohérent. À l'aide de résultats de Min He ([He]) sur les espaces de modules de systèmes cohérents $(\Gamma, F(l))$ d'ordre 1, dont le faisceau sous-jacent est de rang 2, et de classes de Chern $c_1 = 2l, c_2 = n + l^2$, on se ramène au paragraphe 3, pour n compris entre l(l-1) et (l+1)(l+2), à l'étude de l'espace des sections d'un fibré vectoriel $S^l\mathcal{R}\otimes\mathfrak{d}$ sur un ouvert U du schéma de Hilbert $Hilb^m(\mathbb{P}_2)$ des sous-schémas finis de longueur $m=n+l^2$. Si $\Xi \subset \mathrm{Hilb}^m(\mathbb{P}_2) \times \mathbb{P}_2$ est le sous-schéma universel, \mathcal{I} est le faisceaux d'idéaux associé, $pr_1 : \mathrm{Hilb}^m(\mathbb{P}_2) \times \mathbb{P}_2 \to \mathbb{P}_2$ $\mathrm{Hilb}^m(\mathbb{P}_2), \ pr_2 : \mathrm{Hilb}^m(\mathbb{P}_2) \times \mathbb{P}_2 \to \mathbb{P}_2$ sont les deux projections, le faisceau algébrique cohérent \mathcal{R} est défini par $\mathcal{R} = R^1 pr_{1*}(\mathcal{I}(2l-3))$. Ce faisceau est localement libre en dehors du fermé de Brill-Noether B des schémas $Z \in \mathrm{Hilb}^m(\mathbb{P}_2)$ tels que $h^0(I_Z(2l-3)) \neq 0$. On note U l'ouvert complémentaire de B. La codimension de B est supérieure ou égale à 2, donc les résultats de cohomologie locale nous permettent de passer de Hilb $^m(\mathbb{P}_2)$ à U pour le calcul d'un espace de sections. Le fibré \mathfrak{d} est le fibré déterminant sur le schéma de Hilbert Hilb $^m(\mathbb{P}_2)$. On désigne par E l'espace de sections $H^0(\mathbb{P}_2,\mathcal{O}(1))$. Au paragraphe 4 on montre que $S^l \mathcal{R} \otimes \mathfrak{d}$ admet sur U une résolution par un complexe $K^i = \Lambda^{-i} S^k E \otimes S^{l+i} \mathcal{V}_k \otimes \mathfrak{d}$ pour $i=0,\ldots,l,$ où k=2l-3, et \mathcal{V}_k est défini par $\mathcal{V}_k=pr_{1*}(\mathcal{O}_\Xi\otimes pr_2^*(\mathcal{O}(k))).$ Par conséquent, la suite spectrale $E_2^{p,q} = \mathrm{H}^q(K^{-p})$ admet pour aboutissement en degré 0 l'espace $\mathrm{H}^0(\mathrm{S}^l\mathcal{R}\otimes\mathfrak{d})$. Le tableau suivant représente les termes $E_2^{p,q}$ de la suite spectrale :

| $\mathrm{H}^l(\Lambda^l\mathrm{S}^kE\otimes\mathfrak{d})$ | | | | | q = l |
|---|---|----|--|--|-----------|
| $\mathrm{H}^{l-1}(\Lambda^l\mathrm{S}^kE\otimes\mathfrak{d})$ | $H^{l-1}(\Lambda^{l-1}\mathrm{S}^kE\otimes\mathcal{V}_k\otimes\mathfrak{d})$ | | | | q = l - 1 |
| : | : | ٠. | | | ÷ |
| $\mathrm{H}^1(\Lambda^l\mathrm{S}^kE\otimes\mathfrak{d})$ | $\mathrm{H}^1(\Lambda^{l-1}\mathrm{S}^kE\otimes\mathcal{V}_k\otimes\mathfrak{d})$ | | | $\mathrm{H}^1(\mathrm{S}^{l-1}\mathcal{V}_k\otimes\mathfrak{d})$ | q = 1 |
| $\mathrm{H}^0(\Lambda^l\mathrm{S}^kE\otimes\mathfrak{d})$ | $\mathrm{H}^0(\Lambda^{l-1}\mathrm{S}^kE\otimes\mathcal{V}_k\otimes\mathfrak{d})$ | | $\mathrm{H}^0(\mathrm{S}^{l-1}\mathcal{V}_k\otimes\mathfrak{d})$ | $\mathrm{H}^0(\mathrm{S}^l\mathcal{V}_k\otimes\mathfrak{d})$ | q = 0 |
| p = -l | p = -l + 1 | | p = -1 | p = 0 | |

Nous allons prouver le théorème suivant :

Théorème 1.2 On a sur $\operatorname{Hilb}^m(\mathbb{P}_2)$:

- i) $H^0(\mathfrak{d}) = E$ et $H^q(\mathfrak{d}) = 0$ pour q > 0;
- ii) $H^0(\mathcal{V}_k \otimes \mathfrak{d}) = S^{2l-2}E \otimes S^{m-1}E$ et $H^q(\mathcal{V}_k \otimes \mathfrak{d}) = 0$ pour q > 0;
- $iii) \dim \mathrm{H}^0(\mathrm{S}^2 \mathcal{V}_k \otimes \mathfrak{d}) = \dim \left(\mathrm{S}^{2k+1} E \otimes \mathrm{S}^{m-1} E \oplus \mathrm{S}^2(\mathrm{S}^{k+1} E) \otimes \mathrm{S}^{m-2} E \right) \dim \left(\mathrm{S}^{2k+2} E \otimes \mathrm{S}^{m-3} E \right) \ et \ \mathrm{H}^1(\mathrm{S}^2 \mathcal{V}_k \otimes \mathfrak{d}) = 0 \ ;$

iv)

$$\dim \mathrm{H}^0(\mathrm{S}^3\mathcal{V}_3\otimes\mathfrak{d}) \quad = \quad \dim \mathrm{S}^{10}E\otimes \mathrm{S}^{n+8}E + \dim \mathrm{S}^7E\otimes \mathrm{S}^4E\otimes \mathrm{S}^{n+7}E - \dim \mathrm{S}^{10}E\otimes E\otimes \mathrm{S}^{n+7}E + \\ \quad + \quad \dim \mathrm{S}^{n+6}E(\dim \mathrm{S}^{6,6}E + \dim \mathrm{S}^{7,4,1}E + \dim \mathrm{S}^{8,2,2}E + \dim \mathrm{S}^{6,4,2}E + \dim \mathrm{S}^{4,4,4}E).$$

Le (i) est une conséquence du théorème de Kawamata-Viehweg ([C-K-M]), expliquée dans le lemme 4.1. Le (ii) fait l'objet de l'article [D]. On démontre (iii) au paragraphe 4.3, après avoir introduit une description appropriée de l'ouvert $\operatorname{Hilb}_*^m(\mathbb{P}_2)$ du schéma de $\operatorname{Hilbert Hilb}^m(\mathbb{P}_2)$, formé par les schémas avec au plus un point multiple, qui soit double. Le point le plus délicat reste (iv), et il constitue l'objet de la dernière partie. Ce groupe est obtenu comme noyau d'un morphisme de représentations de $\operatorname{SL}(3)$, que nous expliciterons.

Ces données suffisent pour conclure dans les cas l=2,3. On est ainsi en mesure de calculer la dimension de l'espace $H^0(\mathbf{M}, \mathcal{D})$, dans le cas où $n \leq 19$. Pour étendre ce résultat au cas $n \geq 20$, on a besoin d'étendre le théorème d'annulation de la cohomologie supérieure des fibrés $S^k \mathcal{V} \otimes \mathfrak{d}$ sur le schéma de Hilbert Hilb $^m(\mathbb{P}_2)$ et d'améliorer la méthode utilisée pour le calcul de $H^0(S^3 \mathcal{V}_3 \otimes \mathfrak{d})$, afin de réussir à calculer $H^0(S^l \mathcal{V}_k \otimes \mathfrak{d})$, pour $l \geq 3$.

2 Préliminaires

Notation : Le corps de base est \mathbb{C} . Pour un espace vectoriel V nous noterons $\mathbb{P}(V)$ l'espace projectif des droites de V et $\mathbb{P}^{\cdot}(V)$ l'espace projectif de Grothendieck des espaces vectoriels quotients de dimension 1.

2.1 Calculs d'invariants

On considère un ensemble fini I muni d'une action transitive d'un groupe fini G. Soit Y une variété sur laquelle G agit à gauche. Considérons pour chaque $i \in I$ un fibré L_i sur Y de façon qu'on ait un isomorphisme canonique $h_g: g^*(L_i) \simeq L_{g^{-1}(i)}$ pour tout $i \in I$ et $g \in G$, et pour tous $g, g' \in G$, $h_g \circ h_{g'} = h_{gg'}$. (En particulier pour tout g dans Stab $\{i\}$, le stabilisateur de i, on a $g^*(L_i) \simeq L_i$). On a alors un diagramme commutatif:

$$\begin{array}{ccc}
L_{g^{-1}(i)} & \xrightarrow{h_g} & L_i \\
\downarrow & & \downarrow \\
Y & \xrightarrow{g} & Y
\end{array}$$

On considère l'espace vectoriel des sections $M_i = \mathrm{H}^0(L_i)$, et la somme directe $M = \bigoplus_{i \in I} M_i$ (espace vectoriel des familles $s = (s_i)_i$ avec $s_i \in M_i$).

L'isomorphisme h_g induit un isomorphisme $\lambda_g:M_i\to M_{g(i)}$ en posant pour $x\in Y$

$$\lambda_g(s)(x) = h_g s(g^{-1}(x)).$$

On peut facilement vérifier que $\lambda_{gg'} = \lambda_g \lambda_{g'}$. En particulier, ceci fournit une action à gauche du stabilisateur de i sur M_i . On définit aussi une action à gauche de G sur M en posant $g(s)_i = \lambda_g(s_{g^{-1}(i)})$. Le lemme suivant utilisé au paragraphe 4.3 et démontré dans [D] est l'ingrédient essentiel des calculs d'invariants sur X^m :

Lemme 2.1 Soit $i \in I$. La projection $pr_i : M \to M_i$ induit un isomorphisme $M^G \to M_i^{\operatorname{Stab}\{i\}}$.

2.2 Le gradué d'un produit tensoriel

On considère deux faisceaux algébriques \mathcal{F} et \mathcal{G} sur une variété algébrique Z, munis de filtrations décroissantes \mathcal{F}_i et \mathcal{G}_j , telles que $\mathcal{F}_0 = \mathcal{F}$ et $\mathcal{G}_0 = \mathcal{G}$. On pose $\operatorname{gr}_i \mathcal{F} = \mathcal{F}_i/\mathcal{F}_{i+1}$. Il s'agit de démontrer le lemme suivant :

Lemme 2.2 *Si*

$$\underline{\mathrm{Tor}}_1(\mathrm{gr}_i(\mathcal{F}),\mathrm{gr}_j(\mathcal{G})) = 0$$

pour tous i et j alors pour la filtration associée sur $\mathcal{F}\otimes\mathcal{G}$ on a un isomorphisme canonique

$$\bigoplus_{i+j=k} \operatorname{gr}_i \mathcal{F} \otimes \operatorname{gr}_j \mathcal{G} \to \operatorname{gr}_k (\mathcal{F} \otimes \mathcal{G}).$$

Preuve:

Le problème étant local on peut se placer sur un ouvert affine spectre d'un anneau A. La donnée de \mathcal{F} et \mathcal{G} sur Spec A est équivalente à la donnée de deux A-modules filtrés M et N. On se ramène à montrer que si

$$Tor_1(\operatorname{gr}_i M, \operatorname{gr}_i N) = 0$$

pour tous i et j alors pour la filtration naturelle de $M \otimes N$ on a un isomorphisme canonique

$$\bigoplus_{i+j=k} \operatorname{gr}_i M \otimes \operatorname{gr}_j N \to \operatorname{gr}_k (M \otimes N).$$

On rappelle que la filtration naturelle sur $M \otimes N$ est donnée par $F^k(M \otimes N) = \bigoplus_{i+j=k} \text{Im}(M_i \otimes N_j)$. Ici l'hypothèse permet d'écrire $F^k(M \otimes N) = \bigoplus_{i+j=k} M_i \otimes N_j$. On a évidemment un morphisme canonique

$$\bigoplus_{i+j=k} \operatorname{gr}_i M \otimes \operatorname{gr}_j N \to \operatorname{gr}_k (M \otimes N)$$

dont il s'agit de vérifier que c'est un isomorphisme. On raisonne par récurrence sur k. C'est vrai pour k=0 par la proposition 6, page 8, chap. III-1 de [Bourbaki]. On a clairement pour $\ell > k$

$$\operatorname{gr}_k(M\otimes N) = \operatorname{gr}_k(M/M_\ell\otimes N)$$

de sorte que l'on peut supposer en remplaçant au besoin M par M/M_{ℓ} que la filtration de M est finie. On écrit la suite exacte

$$0 \to N_1 \to N \to \operatorname{gr}_0 N \to 0$$

et si on tensorise par M il résulte de l'hypothèse que $Tor_1(M, gr_0N) = 0$ et on a alors une suite exacte

$$0 \to M \otimes N_1 \to M \otimes N \to M \otimes \operatorname{gr}_0 N \to 0.$$

De plus, la filtration induite sur $M \otimes N_1$ est bien (au décalage d'indice près) la filtration obtenue à partir du produit tensoriel. On a alors un diagramme commutatif de suites exactes

$$0 \longrightarrow \oplus_{i+j=k, j \geq 1} \operatorname{gr}_i M \otimes \operatorname{gr}_j N \longrightarrow \oplus_{i+j=k} \operatorname{gr}_i M \otimes \operatorname{gr}_j N \longrightarrow \operatorname{gr}_k M \otimes \operatorname{gr}_0 N \longrightarrow 0$$

$$\downarrow \qquad \qquad \downarrow \qquad \qquad \downarrow$$

$$0 \longrightarrow \operatorname{gr}_{k-1} (M \otimes N_1) \longrightarrow \operatorname{gr}_k (M \otimes N) \longrightarrow \operatorname{gr}_k (M \otimes \operatorname{gr}_0 (N)) \longrightarrow 0$$

L'hypothèse de récurrence appliquée à M et N_1 (qui satisfont bien entendu aux mêmes hypothèses que M et N) montre que la première flèche verticale est un isomorphisme; la dernière l'est par l'hypothèse $\operatorname{Tor}_1(\operatorname{gr}_i(M),\operatorname{gr}_0(N))=0$. Donc la flèche verticale du milieu est un isomorphisme.

On peut vérifier que dans les conditions dans lesquelles on va l'appliquer, les hypothèses de ce lemme sont satisfaites :

Lemme 2.3 Soient X et Y deux variétés algébriques munies des faisceaux algébriques F et G. Alors

$$\underline{\mathrm{Tor}}_{1}^{\mathcal{O}_{X}\boxtimes\mathcal{O}_{Y}}(\mathcal{F}\boxtimes\mathcal{O}_{Y},\mathcal{O}_{X}\boxtimes\mathcal{G})=0.$$

Preuve:

Le problème étant local on peut travailler sur des ouverts de $X \times Y$ qui sont de la forme Spec $A \times$ Spec B pour A et B deux algèbres de type fini sur le corps de base K. La donnée de \mathcal{F} et \mathcal{G} sur Spec A, respectivement Spec B, est équivalente à la donnée d'un A-module M et un B-module N. On se ramène à prouver l'annulation de

 $\operatorname{Tor}_{1}^{A\otimes_{K}B}(M\otimes_{K}B, A\otimes_{K}N) = 0.$

À cette fin on considère Q une résolution projective de M. Alors $Q \otimes_K B$ est une résolution projective pour $M \otimes_K B$. On tensorise cette résolution par $A \otimes_K N$. Le complexe obtenu est en fait $Q \otimes_K N$ qui est exact. \square

2.3 Représentations irréductibles de SL(E)

Fixons d'abord quelques notations. Soit E un espace vectoriel de dimension r. Un diagramme de Young est une configuration de boîtes associée à une suite décroissante $\lambda_1 \geq \ldots \geq \lambda_l > 0$ d'entiers, avec λ_i boîtes dans la i-ème colonne, les colonnes étant alignées de gauche à droite. Un tableau de Young est un diagramme de Young muni d'une numérotation des cases $(i, j)_{1 \leq i \leq l, 1 \leq j \leq \lambda_i}$.

Soit $d = |\lambda| := \sum_i \lambda_i$ le nombre total de boîtes. À un tel tableau de Young est associée une représentation irréductible de $G = \operatorname{SL}(E)$ de la manière suivante : on considère l'action naturelle de \mathfrak{S}_d sur $E^{\otimes d}$ par permutation des facteurs, le sous-groupe P_{λ} qui laisse invariantes les colonnes du tableau de Young, et le sous-groupe Q_{λ} qui laisse invariantes les lignes. Alors, si on pose $a_{\lambda} = \sum_{g \in P_{\lambda}} g$ et $b_{\lambda} = \sum_{g \in Q_{\lambda}} sgn(g)g$ (les sommes sont prises dans l'algèbre du groupe G), la représentation $S^{\lambda}E$ est définie par

$$S^{\lambda}(E) = b_{\lambda} a_{\lambda}(E^{\otimes d}).$$

Le théorème 6.3 [F-H], page 77, nous donne la dimension de cette représentation :

$$\dim \mathbf{S}^{\lambda} E = \prod_{1 \le i < j \le r} \frac{\lambda_i - \lambda_j + j - i}{j - i}$$

si $\lambda_1 \geq \ldots \geq \lambda_r \geq 0$ et 0 si $\lambda_{r+1} \neq 0$.

Une autre interprétation, via le théorème de Bott, est obtenue en considérant la variété D(E) = Drap(E) des drapeaux complets $0 \subset F_r \subset F_{r-1} \subset \ldots \subset F_1 = E$, avec dim $F_i = r - i + 1$, puis sur D(E) les fibrés Q_i de rang 1 définis par les quotients canoniques $Q_i = F_i/F_{i+1}$. Alors si λ est un tableau de Young, la représentation

$$\mathrm{H}^0(D(E),Q_1^{\lambda_1}\otimes\ldots\otimes Q_r^{\lambda_r})$$

est une représentation irréductible (et les autres groupes de cohomologie s'annulent, par [Demailly], [Bott]). C'est la représentation $S^{\lambda}(E)$.

On se servira pour le calcul de $H^0(S^3\mathcal{V}_k\otimes\mathfrak{d})$ des résultats suivants, qui constituent un court résumé de l'étude présentée dans [F-H].

Étant donnée une représentation V de SL(3) (ce qui revient au même que la donnée d'une représentation de son algèbre de Lie $\mathfrak{sl}(3)$, puisque SL(3) est un groupe de Lie connexe et simplement connexe : [F-H],page

109), on connaît sa décomposition en sous-représentations irréductibles. On étudie pour cela l'ensemble de ses poids, qui sont les valeurs propres pour l'action du sous-espace $\mathfrak{h} \subset \mathfrak{sl}(3)$ des matrices diagonales sur V. Ces valeurs propres sont des formes linéaires sur \mathfrak{h} . Explicitement on a

$$\mathfrak{h} = \left\{ \left(\begin{array}{ccc} a_1 & 0 & 0 \\ 0 & a_2 & 0 \\ 0 & 0 & a_3 \end{array} \right) : a_1 + a_2 + a_3 = 0 \right\}$$

et on peut donc écrire $\mathfrak{h}^* = \mathbb{C}[L_1] \oplus \mathbb{C}[L_2] \oplus \mathbb{C}[L_3]/(L_1 + L_2 + L_3)$.

Les poids $L_i - L_j \in \mathfrak{h}^*$ sont spéciaux, car ils sont les poids de la représentation adjointe, et ils sont appelés racines. Les racines engendrent un réseau à l'intérieur de \mathfrak{h}^* , noté Λ_R . Les poids α d'une représentation finie quelconque se trouvent sur le réseau $\Lambda_W \subset \mathfrak{h}^*$ engendré par les L_i et sont congrus modulo Λ_R . En choisissant un ordre sur les L_i , par exemple $L_1 > L_2 > L_3$, on peut séparer les 6 racines en 3 racines positives : $L_1 - L_2, L_1 - L_3, L_2 - L_3$ et 3 négatives. Les espaces propres correspondants aux racines positives, $\mathfrak{g}_{L_1-L_2}$, $\mathfrak{g}_{L_1-L_3}$, et $\mathfrak{g}_{L_2-L_3}$, sont engendrés par les matrices $E_{i,j} = (e_{kl})$, avec un seul terme non nul $e_{ij} = 1$ au-dessus de la diagonale. Une représentation \mathfrak{h} de $\mathrm{SL}(3)$ étant donnée, il existe un vecteur propre pour \mathfrak{h} , $v \in V$, qui est annulé par $E_{1,2}, E_{1,3}$, et $E_{2,3}$, appelé vecteur de plus haut poids. Le poids correspondant est appelé poids dominant. Pour une représentation irréductible le vecteur de plus haut poids est unique à multiplication par des scalaires près.

L'ensemble des poids est préservé par l'action du groupe des symétries par rapport aux droites engendrés par les L_i (le groupe de Weyl). On en déduit qu'un poids dominant doit se trouver dans le $(\frac{1}{6})$ -plan délimité par L_1 et $L_1 + L_2 = -L_3$, donc il doit être de la forme $aL_1 + bL_2 + cL_3$ avec $a \ge b \ge c$.

La prop. 12.11 [F-H] nous assure que la sous-représentation W de V engendrée par les images de $v = aL_1 + bL_2 + cL_3$ par application successive des trois opérateurs $E_{1,2}$, $E_{1,3}$, et $E_{2,3}$ est irréductible. C'est la représentation $S^{a,b,c}E$, où E est la représentation standard. On la note aussi $S^{\lambda}E$ où L0 est la partition L1, L2, L3 = 0, on préfère l'écriture réduite L3 avec L4 avec L5.

Maintenant, la formule de Pieri permet de calculer le produit tensoriel d'une représentation irréductible et d'une puissance symétrique. On a en effet

$$S^{\lambda}E \otimes S^{p}E = \sum_{\substack{\lambda_{i} \leq \mu_{i} \leq \lambda_{i-1} \\ |\mu| = |\lambda| + p}} S^{\mu}E$$

Par exemple $S^8E \otimes S^4E = S^{12}E + S^{11,1}E + S^{10,2}E + S^{9,3}E + S^{8,4}E$.

Par une analyse directe on peut trouver la décomposition de n'importe quelle représentation . Par exemple, d'après le programme Lie [LiE], la décomposition du pléthysme $S^3(S^4E)$ est donnée par :

$$S^{3}(S^{4}E) = S^{12}E + S^{10,2}E + S^{9,3}E + S^{8,4}E + S^{6,6}E + S^{7,4,1} + S^{8,2,2}E + S^{6,4,2}E + S^{4,4,4}E.$$

2.4 Contractions

Proposition 2.4 Soit F un espace vectoriel. Soient a et b deux entiers positifs, tels que $a \ge b$. Alors le morphisme canonique (appelé par [F-H] morphisme de contraction, p.83)

$$c: S^a F \otimes S^b F \to S^{a+1} F \otimes S^{b-1} F$$

défini par $y \otimes x_1 \cdots x_b \mapsto \sum_i y x_i \otimes x_1 \cdots \check{x_i} \cdots x_b$ est surjectif, de noyau $S^{a,b}F$.

Preuve : À cause de la décomposition de Pieri en somme directe de facteurs irréductibles, il suffit de montrer la surjectivité. On se place sur l'espace projectif de Grothendieck $\mathbb{P}^{\cdot}(F)$ et on écrit la suite exacte d'Euler associée

$$0 \to U \to F \otimes \mathcal{O} \to \mathcal{O}(1) \to 0$$

où U est le sous-fibré canonique du fibré trivial de fibre F, et $\mathcal{O}(1)$ le fibré inversible quotient canonique. On en déduit une suite exacte pour les puissances symétriques

$$0 \to S^b U \otimes \mathcal{O}(a) \to S^b F \otimes \mathcal{O}(a) \stackrel{\alpha}{\to} S^{b-1} F \otimes \mathcal{O}(a+1) \to 0$$

On sait que $F = H^0(\mathbb{P}^{\cdot}(F), \mathcal{O}(1))$. Le morphisme associé à α sur les sections globales $H^0(\alpha)$ coïncide avec c, donc la surjectivité de c revient à montrer l'annulation de l'espace $H^1(S^bU(a))$.

Lemme 2.5 On a $H^q(\mathbb{P}^{\cdot}(F), S^bU(a)) = 0$ si $a \geq b$, $q \geq 1$ et dim F = 3.

Preuve du lemme:

On considère la variété D = D(F) des drapeaux $h \subset k \subset F$ avec dim h = 1, et dim k = 2. Soit $\mathcal{V} \subseteq \mathcal{U} \subseteq F \otimes \mathcal{O}_D$ la filtration canonique correspondante du fibré trivial de fibre F sur D, avec \mathcal{V} fibré de rang 1 et \mathcal{U} le sous-fibré canonique de rang 2. La filtration de $S^b\mathcal{U}$ associée à la suite exacte

$$0 \to \mathcal{V} \to \mathcal{U} \to \mathcal{U}/\mathcal{V} \to 0$$

est donnée par $F^1S^b\mathcal{U} = S^{b-1}\mathcal{U} \otimes \mathcal{V} \subset S^b\mathcal{U}$.

Si on considère la projection canonique $D \xrightarrow{pr} \mathbb{P}(F)$ définie par $(h,k) \mapsto k$, sur la fibre $D_k = \mathbb{P}(k^*)$ de cette projection au-dessus d'un point k, le fibré \mathcal{U} est trivial et le fibré \mathcal{V} s'identifie à $\mathcal{O}(-1)$ de la fibre. On obtient en particulier que $R^q pr_*(F^1S^b(\mathcal{U})) = 0$ pour tout $q \geq 0$, d'où

$$R^q pr_*(\mathrm{F}^1 \mathrm{S}^b(\mathcal{U}) \otimes pr^*(\mathcal{O}(a))) = R^q pr_*(\mathrm{F}^1 \mathrm{S}^b(\mathcal{U})) \otimes \mathcal{O}(a) = 0,$$

pour tous $q \ge 0$ et donc par la suite spectrale de Leray on déduit que $H^q(D, F^1S^b(\mathcal{U})(a)) = 0$ pour tout $q \ge 0$.

Mais pr est un morphisme projectif dont les fibres sont des espaces projectifs (c'est un fibré en projectifs) donc $R^q(f_*\mathcal{O}_D) = \mathcal{O}$ si q = 0 et 0 sinon.

Par suite, comme $\mathcal{U} = pr^*(U)$ et $S^b\mathcal{U} = pr^*(S^bU)$, on obtient

$$\mathrm{H}^q(\mathbb{P}(F), \mathrm{S}^bU(a)) = \mathrm{H}^q(D, \mathrm{S}^b\mathcal{U}(a)) = \mathrm{H}^q(D, \mathrm{S}^b(\mathcal{U}/\mathcal{V})(a)),$$

pour tous $q \geq 0$. Mais $\mathcal{O}_D(1) = Q_1$ et $\mathcal{U}/\mathcal{V} = Q_2$ sont les quotients canoniques de rang 1 associés à la filtration $\mathcal{V} \subseteq \mathcal{U} \subseteq F \otimes \mathcal{O}_D$, et cf. [Demailly], on a l'annulation de $H^q(D, Q_1^{\otimes a} \otimes Q_2^{\otimes b} \otimes Q_3^{\otimes c})$ pour $q \geq 1$ et $a \geq b$. D'où le résultat.

2.5 Application : le noyau et le conoyau du morphisme ν

Le morphisme ν est le morphisme canonique

$$\nu: S^3(S^4E) \to S^8E \otimes S^4E$$

induit par l'application linéaire $stu\mapsto st\otimes u+su\otimes t+ut\otimes s,$ où $s,t,u\in \mathbf{S}^4E.$

Lemme 2.6 Le morphisme ν n'est ni injectif, ni surjectif. Son conoyau est $S^{11,1}E$ et son noyau est isomorphe à

$$S^{6,6}E + S^{7,4,1}E + S^{8,2,2}E + S^{6,4,2}E + S^{4,4,4}E$$

Preuve du lemme : On regarde les poids de S⁴E. Ils sont donnés par des sommes de 4 poids de E, soit : $4L_i$, $3L_i + L_j$, $2L_i + 2L_j$, $2L_i + L_j + L_k$, avec i, j, k deux à deux distincts et variant de 1 à 3. Les poids de S³(S⁴E) sont donnés par des sommes de 3 poids α , β , γ de S⁴E. On écrit $\alpha + \beta + \gamma$ sous la forme $mL_1 + nL_2 + pL_3$ avec m + n + p = 12. Si on veut obtenir $\alpha + \beta + \gamma = 8L_1 + 4L_2$ on a m - p = 8, n - p = 4 donc m + n - 2p = m + n + p = 12 donc p = 0. On ne se sert donc pas des poids qui font apparaître L_3 . Il y a exactement 4 façons d'obtenir $8L_1 + 4L_2$:

 $4L_1 + 4L_1 + 4L_2$ qui correspond au vecteur propre $\omega_1 = (e_1^4)^2 (e_2^4)$,

 $4L_1 + 3L_1 + L_2 + 3L_2 + L_1$ qui correspond au vecteur propre $\omega_2 = (e_1^4)(e_1^3 e_2)(e_1 e_2^3)$,

 $4L_1 + 2L_1 + 2L_2 + 2L_1 + 2L_2$ qui correspond au vecteur propre $\omega_3 = (e_1^4)(e_1^2 e_2^2)^2$, et

 $3L_1 + L_2 + 3L_1 + L_2 + 2L_1 + 2L_2$ qui correspond au vecteur propre $\omega_4 = (e_1^3 e_2)^2 (e_1^2 e_2^2)$.

Ces 4 vecteurs sont indépendants dans $S^3(S^4E)$ (ce sont même des vecteurs d'une base de $S^3(S^4E)$). On vérifie que leurs images par ν sont non nulles. Comme $8L_1 + 4L_2$ figure parmi les poids des représentations $S^{12}E$, $S^{10,2}E$, $S^{9,3}E$ et $S^{8,4}E$, et qu'un vecteur de poids α s'envoie sur un vecteur de même poids α par le morphisme équivariant ν , il résulte que la multiplicité de ce poids est 1 dans chacune de ces représentations, et que l'image de ν atteint chacune de ces représentations vues comme sous-représentations irréductibles de $S^8E \otimes S^4E$. \square

Corollaire 2.7 Le morphisme $\widetilde{\nu}: S^3(S^4E) \otimes S^{m-3}E \to S^8E \otimes S^4E \otimes S^{m-3}E$ défini par $\widetilde{\nu} = \nu \otimes id$ n'est ni injectif, ni surjectif. Son conoyau est $S^{11,1}E \otimes S^{m-3}E$ et son noyau est isomorphe à

$$(S^{6,6}E + S^{7,4,1} + S^{8,2,2}E + S^{6,4,2}E + S^{4,4,4}E) \otimes S^{m-3}E$$

Preuve du corollaire : Comme $\widetilde{\nu} = \nu \otimes id$, par le lemme 2.6 on obtient le résultat.

3 Systèmes cohérents

Le but de cette section est de montrer comment on peut ramener le calcul du nombre de sections du fibré déterminant de Donaldson à un calcul de sections d'un faisceau localement libre sur un ouvert du schéma de Hilbert. La méthode repose sur un résultat de Min He, qui l'utilisait pour calculer les nombres de Donaldson [He]. On commence par quelques généralités sur les systèmes cohérents.

3.1 Systèmes cohérents a-semi-stables

On désigne par $K(\mathbb{P}_2)$ l'algèbre de Grothendieck des classes de faisceaux algébriques cohérents sur \mathbb{P}_2 , ou ce qui revient au même, des classes de fibrés vectoriels algébriques sur \mathbb{P}_2 . Cette algèbre est engendrée par la classe η du faisceau structural d'une droite. En tant que groupe abélien, elle est isomorphe à \mathbb{Z}^3 , un isomorphisme étant donné par le rang r, la classe de Chern c_1 et la caractéristique d'Euler-Poincaré χ . Elle est munie de la forme quadratique entière non dégénérée définie par

$$2r\chi + c_1^2 - r^2.$$

La notion d'orthogonalité utilisée par la suite est relative à cette forme quadratique.

Une classe de Grothendieck $a \in K(\mathbb{P}_2) \otimes \mathbb{Q}$ est dite positive si le polynôme de Hilbert de a est positif. Étant donné un faisceau algébrique cohérent F sur \mathbb{P}_2 , on désigne par c(F) la classe de Grothendieck de F dans $K(\mathbb{P}_2)$.

Définition 3.1 Un système cohérent sur \mathbb{P}_2 est un couple $\Lambda = (\Gamma, F)$ où F est un faisceau cohérent, et Γ un sous-espace vectoriel de $H^0(F)$. L'ordre du système cohérent est la dimension de l'espace vectoriel Γ .

Soit $a \in K(\mathbb{P}_2) \otimes \mathbb{Q}$ une classe de Grothendieck strictement positive. À un système $\Lambda = (\Gamma, F)$ on associe la classe de Grothendieck $c_a(\Lambda) \in K(\mathbb{P}_2) \otimes \mathbb{Q}$ définie par

$$c_a(\Lambda) = \dim \Gamma \cdot a + c(F).$$

La catégorie des systèmes cohérents n'est pas une catégorie abélienne, mais elle se plonge dans une catégorie abélienne (la catégorie des systèmes algébriques) qui a suffisamment d'injectifs. On ne considère ici que des systèmes cohérents $\Lambda = (\Gamma, F)$ dont le faisceau F sous-jacent est de rang r > 0. Ce rang sera aussi appelé le rang du système cohérent.

Définition 3.2 On dit qu'un système cohérent $\Lambda = (\Gamma, F)$ est a-semi-stable si

- (i) le faisceau F est sans torsion;
- (ii) pour tout sous-faisceau cohérent $F' \subset F$ de rang r' > 0 on a dans $K(\mathbb{P}_2) \otimes \mathbb{Q}$:

$$\frac{c_a(\Lambda')}{r'} \le \frac{c_a(\Lambda)}{r}.$$

où Λ' est le système cohérent $\Lambda' = (\Gamma', F')$ défini par $\Gamma' = \Gamma \cap H^0(F')$.

Dans le cas particulier où c est de rang 2, et dim $\Gamma = 1$, seul cas utile dans la suite, l'inégalité (ii) signifie que pour tout sous-faisceau cohérent $F' \subset F$ de rang 1 on a

$$c(F') \le \begin{cases} \frac{1}{2}(c(F) - a) & \text{si } \Gamma \subset H^0(F') \\ \frac{1}{2}(c(F) + a) & \text{sinon} \end{cases}$$

3.2 L'espace de modules $Syst_a(c, k)$

Soit $c \in K(\mathbb{P}_2)$ une classe de Grothendieck fixée et k un entier ≥ 0 ; il existe un espace de modules grossier de systèmes cohérents a-semi-stables $\Lambda = (\Gamma, F)$ tels que c(F) = c, et dim $\Gamma = k$: c'est une variété projective qui sera notée $Syst_a(c, k)$. Lorsque a varie, la structure de l'espace de modules grossier $Syst_a(c, k)$ change au passage de certaines valeurs de a appelées valeurs critiques.

3.3 Valeurs critiques

Soit F un faisceau algébrique cohérent de rang 2, de classes de Chern c_1 et c_2 sur le plan projectif. On désigne par η la classe dans $K(\mathbb{P}_2)$ du faisceau structural d'une droite. Ainsi, les faisceaux considérés ont pour classe de Grothendieck

$$c(F) = 2 + c_1 \eta + (\frac{c_1(c_1+1)}{2} - c_2)\eta^2.$$

Soit l > 0 un entier, fixé dans toute la suite. Les faisceaux cohérents F de rang r = 2 et de classes de Chern $c_1 = 2l$, et $c_2 = n + l^2$ ont alors pour classe de Grothendieck

$$c(l) = 2 + 2l\eta + (l(l+1) - n)\eta^{2}.$$

On considère l'espace de modules $S_a = Syst_a(c(l), 1)$ des classes de S-équivalence de systèmes cohérents a-semi-stables $\Lambda = (\Gamma, F)$, d'ordre 1, où F est un faisceau cohérent de classe de Grothendieck c(F) = c(l). Si cet espace de modules est non-vide, une section de F donne une inclusion du faisceau trivial dans F, et donc l'inégalité

$$0 < a \le c(l) - 2 = 2l\eta + (l(l+1) - n)\eta^2.$$

Définition 3.3 Les valeurs critiques pour la famille d'espaces de modules de systèmes cohérents S_a sont les classes $a \in K(\mathbb{P}_2) \otimes \mathbb{Q}$ pour lesquelles il existe des systèmes cohérents strictement semi-stables relativement à a.

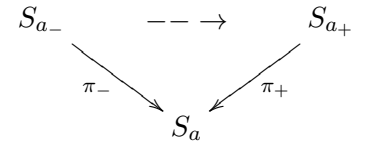
Les valeurs critiques sont en nombre fini. On peut en fait les calculer explicitement, mais on n'aura pas besoin de cela dans la suite.

3.4 Les résultats de Min He

Étant donnée une valeur critique a, on désigne par a_- et a_+ des classes de Grothendieck > 0 encadrant a et telles que dans l'intervalle $]a_-, a_+[$, a soit la seule valeur critique. On désigne par $a_{max} = c(l) - 2$ la plus grande valeur critique. Pour $a > a_{max}$, l'espace de modules S_a est vide.

Théorème 3.4 (Min He) On suppose $n \ge l(l-1)$ et $n \ge 3$.

- (i) L'espace de modules S_a est une variété irréductible, normale, de dimension $\delta = 3n + l(l+3) 2$.
- (ii) Si a est valeur critique distincte de a_{max} , on dispose de morphismes surjectifs



Au-dessus de l'ouvert des points stables de S_a ces morphismes sont des isomorphismes. L'image réciproque du fermé Σ des points strictement semi-stables $\Sigma_- = \pi_-^{-1}(\Sigma)$ (resp. $\Sigma_+ = \pi_+^{-1}(\Sigma)$) est le fermé des points a_+ -instables (resp. a_- -instables). Les fermés $\Sigma, \Sigma_-, \Sigma_+$ sont de codimension ≥ 2 .

- (iii) Si a n'est pas valeur critique, il existe un système cohérent universel $\Lambda = (\mathcal{V}, \mathcal{F})$ paramétré par S_a .

Ainsi, S_{a_+} s'obtient à partir de S_{a_-} en remplaçant le fermé Σ_- par le fermé Σ_+ des points a_- -instables.

3.5 L'espace de modules $S_{a_{max}}$

On suppose ici que $n \ge l(l-1)$ et $n \ge 3$.

L'espace de modules $S_{a_{max}}$ s'identifie au schéma de Hilbert des sous-schémas finis de longueur $n+l^2$ de \mathbb{P}_2 , Hilb $^{n+l^2}(\mathbb{P}_2)$. En effet, la condition de semi-stabilité nous assure que le conoyau du morphisme d'évaluation $\Gamma \otimes \mathcal{O} \to F$ est sans torsion. On connaît la description de tels faisceaux sur \mathbb{P}_2 . Ils s'écrivent comme $I_Z(c_1)$ où I_Z est l'idéal d'un sous-schéma fini Z de longueur c_2 de \mathbb{P}_2 . De plus l'extension :

$$0 \to \Gamma \otimes \mathcal{O} \to F \to I_Z(2l) \to 0$$

donne une filtration de Jordan-Hölder pour F, puisque $a=a_{max}$. Le schéma Z est dans ce cas de longueur $n+l^2$. L'application qui associe à F le sous-schéma Z correspondant donne l'identification désirée.

Dans le cas où $a = a_{max}$ on dispose encore d'une extension

$$0 \to \Gamma \otimes \mathcal{O} \to F \to I_Z(2l) \to 0$$

soit d'une extension non-triviale de systèmes cohérents

$$0 \to \Lambda' \to \Lambda \to \Lambda'' \to 0$$

où $\Lambda'' = (0, I_Z(2l))$, et $\Lambda' = (\mathbb{C}, \mathcal{O}_{\mathbb{P}_2})$. Réciproquement, pour a voisin de a_{max} , une telle extension non-triviale définit un système cohérent a-semi-stable. Pour déterminer $S_{a_{max}}$ il s'agit donc de paramétrer les extensions non-triviales de ce type.

Mais pour un sous-schéma Z, ces extensions sont paramétrées par

$$\mathbb{P}(Ext^{1}(I_{Z}(2l),\mathcal{O})) = \mathbb{P}^{\cdot}(H^{1}(I_{Z}(2l-3))).$$

La variété $S_{a_{max}}$ va donc s'identifier à un fibré en espaces projectifs associé à un faisceau algébrique cohérent sur $\operatorname{Hilb}^{n+l^2}(\mathbb{P}_2)$ qui ait pour fibre en Z, $\operatorname{H}^1(I_Z(2l-3))$. On obtient le

Théorème 3.5 Soit $\Xi \subset \operatorname{Hilb}^{n+l^2}(\mathbb{P}_2) \times \mathbb{P}_2$ le sous-schéma universel, et \mathcal{I} le faisceaux d'idéaux associé. Considérons le faisceau algébrique cohérent $\mathcal{R} = R^1 pr_{1*}(\mathcal{I}(2l-3))$. Alors

$$S_{a_{max}} = \mathbb{P}(\mathcal{R}).$$

Ce faisceau \mathcal{R} est localement libre de rang

$$\chi(\mathcal{O}_Z) - \chi(\mathcal{O}(2l - 3)) = n + 1 - (l - 1)(l - 2)$$

en dehors du fermé de Brill-Noether B des $Z \in \operatorname{Hilb}^{n+l^2}(\mathbb{P}_2)$ tels que $h^0(I_Z(2l-3)) \neq 0$. On sait d'après Ellingsrud et Strømme (dans [He], lemme 4.9, en utilisant [E-S], th. 1.1 et cor. 1.2), que si C est une courbe de \mathbb{P}_2 , même non-réduite, le sous-schéma de $\operatorname{Hilb}^m(\mathbb{P}_2)$ des points $Z \subset C$ est de dimension m. Ceci permet de majorer la dimension du fermé de Brill-Noether B ou de minorer sa codimension : elle est supérieure à n-l(l-3), donc supérieure à 2l si $n \geq l(l-1)$. On peut minorer aussi la codimension de l'image réciproque de B dans $\mathbb{P}(\mathcal{R})$:

Lemme 3.6 Supposons $n \ge l(l-3)$. L'image réciproque de B dans $\mathbb{P}(\mathcal{R})$ est de codimension $\ge n-l(l-1)+2$.

Preuve du lemme : Soit s un entier tel que $0 < s \le 2l - 3$ et $B_s \subset B$ le sous-ensemble localement fermé correspondant aux idéaux I tels que $h^0(I(s-1)) = 0$, et $h^0(I(s)) \ne 0$. Pour $I \in B_s$ on a

$$h^{1}(I(2l-3)) \le h^{1}(I(s-1)) = n + l^{2} - \frac{1}{2}s(s+1).$$

On obtient ainsi une majoration de la dimension de l'image réciproque de B_s par

$$n + l^2 + \frac{1}{2}(s+1)(s+2) - 1 + n + l^2 - \frac{1}{2}s(s+1) - 1$$

c'est-à-dire

$$2(n+l^2) + s - 1.$$

L'assertion résulte en utilisant la majoration $s \leq 2l - 3.\square$

On note π le morphisme canonique de $S_{a_{max_{-}}}$ dans $\operatorname{Hilb}^{n+l^2}(\mathbb{P}_2)$.

3.6 Le morphisme $f: S_{\epsilon} \to \mathbf{M}_c$

On désigne par \mathbf{M}_c l'espace de modules des faisceaux semi-stables de classe de Grothendieck c. Ici c est de rang 2, $c_1 = 0$ et $c_2 = n$ donc $\mathbf{M}_c = \mathbf{M}$. Considérons une classe de Grothendieck $\epsilon > 0$ inférieure à la plus petite valeur critique. Si $\Lambda = (\Gamma, F)$ est un système cohérent ϵ -stable, le faisceau F sous-jacent est semi-stable. Par suite, on obtient un morphisme $f: S_{\epsilon} \to \mathbf{M}_c$ qui associe à la classe du système cohérent (Γ, F) la classe du faisceau F(-l).

Théorème 3.7 Si $3 \le n < (l+1)(l+2)$, le morphisme $f: S_{\epsilon} \to \mathbf{M}_c$ est surjectif; de plus, on a $f_*(\mathcal{O}_{S_{\epsilon}}) = \mathcal{O}_{\mathbf{M}_c}$.

Preuve : Si F est un faisceau stable de classe c, la condition n < (l+1)(l+2) signifie que $\chi(F(l)) > 0$ et par suite on peut considérer les systèmes cohérents $\Lambda = (\Gamma, F(l))$ avec $\Gamma \subset H^0(F(l))$. Ces systèmes cohérents sont obligatoirement ϵ -stables. Il en résulte que la fibre de f au-dessus du point défini par F est isomorphe à l'espace projectif (des droites) $\mathbb{P}(H^0(F(l)))$. Le résultat est alors évident si n est impair, car il n'y a alors que des points stables : si \mathcal{F} est une famille universelle, l'espace de modules s'identifie d'ailleurs dans ce cas au schéma de Grothendieck

$$\mathbb{P}(\underline{Ext}_{pr_1}^2(\mathcal{F}, pr_2^*(\omega_{\mathbb{P}_2})))$$

où $\omega_{\mathbb{P}_2}$ désigne le fibré canonique de \mathbb{P}_2 ($\omega_{\mathbb{P}_2} \simeq \mathcal{O}(-3)$).

Dans le cas où n est pair, on peut employer l'argument suivant : l'espace de modules S_{ϵ} étant intègre, on sait que l'algèbre $\mathcal{A} = f_*(\mathcal{O}_{S_{\epsilon}})$ est intègre. Mais alors $\mathbf{M}' = \operatorname{Spec}(\mathcal{A})$ est une variété projective intègre audessus de \mathbf{M}_c , et le morphisme $\mathbf{M}' \to \mathbf{M}_c$ est projectif et birationnel. De plus, la variété \mathbf{M}_c est normale : ceci implique que l'image directe du faisceau structural de \mathbf{M}' est $\mathcal{O}_{\mathbf{M}_c}$ ([Hart], chap. III, cor. 11.4). Le théorème en résulte. \square

3.7 Le fibré déterminant

Si a n'est pas valeur critique, on sait qu'il existe un système cohérent universel paramétré par l'espace de modules S_a . On l'écrit sous la forme $(\mathcal{V}, \mathcal{F}(l))$, où \mathcal{V} est un fibré inversible sur S_a , et \mathcal{F} une famille plate de faisceaux cohérents de classe c paramétrée par S_a . On peut donc, pour toute classe $u \in c^{\perp}$ dans $K(\mathbb{P}_2)$, de dimension 1, (l'orthogonal est pris relativement à la forme quadratique sur $K(\mathbb{P}_2)$) définir un fibré déterminant $\mathcal{D}_{a,u}$ sur S_a par la formule

$$\mathcal{D}_{a,u} = \lambda_{\mathcal{F}}(-u) = \det p_{1!}(\mathcal{F} \cdot p_2^*(-u)).$$

Dans cette formule p_1 et p_2 sont les projections canoniques :

$$\begin{array}{ccc} S_a \times \mathbb{P}_2 & \xrightarrow{p_2} & \mathbb{P}_2 \\ \downarrow^{p_1} & & \\ S_a & & \end{array}$$

et $\mathcal{F}(u) = \mathcal{F} \cdot p_2^*(u)$ désigne la classe (dans le groupe de Grothendieck $K(S_a \times \mathbb{P}_2)$ des classes de faisceaux algébriques cohérents plats sur S_a) produit de la classe de \mathcal{F} par l'image réciproque de u par la projection p_2 . Le morphisme

$$p_{1!}:K(S_a\times\mathbb{P}_2)\to K(S_a)$$

est le morphisme qui associe à la classe d'un faisceau algébrique cohérent \mathcal{F} plat sur S_a la classe de $\sum_q (-1)^q R^q p_{1*}(\mathcal{F})$. Ces faisceaux de cohomologie sont les faisceaux de cohomologie d'un complexe fini de

fibrés vectoriels $Rp_{1*}(\mathcal{F})$. Par la propriété universelle du fibré déterminant, on a $f^*(\mathcal{D}_u) = \mathcal{D}_{\epsilon,u}$. Désignons par \mathfrak{d} le fibré déterminant sur Hilb $^{n+l^2}(\mathbb{P}_2)$, et considérons l'ouvert U de ce schéma de Hilbert où le faisceau \mathcal{R} est localement libre. Cet ouvert est l'espace tout entier pour l=1 et il a son complémentaire de codimension 2l, pour l supérieur à 1. Il est invariant sous l'action du groupe $\mathrm{SL}(3)$.

Théorème 3.8 Soit n un entier ≥ 3 . Soit l un entier > 0 tel que $l(l-1) \leq n < (l+1)(l+2)$. Alors on a un isomorphisme de SL(3)-représentations

$$\mathrm{H}^0(\mathbf{M}_c, \mathcal{D}) = \mathrm{H}^0(\mathrm{U}, \mathrm{S}^l \mathcal{R} \otimes \mathfrak{d}).$$

Preuve : D'après le théorème 3.7, on a

$$\mathrm{H}^0(\mathbf{M}_c, \mathcal{D}) = \mathrm{H}^0(S_{\epsilon}, \mathcal{D}_{\epsilon, \mathfrak{u}}).$$

Ici, $\mathfrak u$ désigne la classe du faisceau $\mathcal O_H(-1)$, orthogonale à c, où H est une droite de $\mathbb P_2$. Maintenant, d'après le résultat de Min He, les espaces de modules S_a sont des variétés normales : les espaces vectoriels de sections restent inchangés par restriction à un ouvert dont le complémentaire est de codimension ≥ 2 . Puisque les fermés Σ, Σ_- , et Σ_+ du théorème 3.4 sont de codimension ≥ 2 on voit que la représentation $H^0(S_a, \mathcal D_{a,\mathfrak u})$ est indépendante de a. Il reste à voir ce qu'est cette représentation pour $a = a_{max_-}$. Ceci résulte du calcul du fibré déterminant $\mathcal D_{a_{max_-},\mathfrak u}$ sur l'espace de modules $S_{a_{max_-}}$.

Lemme 3.9 Soit a le fibré tautologique $\mathcal{O}_{\mathbb{P}(\mathcal{R})}(1)$ sur $\mathbb{P}(\mathcal{R})$. Alors

$$\mathcal{D}_{a_{max},\mathfrak{u}}=\mathfrak{a}^{\otimes l}\otimes\pi^*(\mathfrak{d}).$$

Preuve du lemme : Rappellons que $\Xi \subset \operatorname{Hilb}^{n+l^2}(\mathbb{P}_2) \times \mathbb{P}_2$ est le sous-schéma universel, \mathcal{I} le faisceaux d'idéaux associé et \mathcal{R} est le faisceau algébrique cohérent $R^1pr_{1*}(\mathcal{I}(2l-3))$. Considérons l'extension canonique sur $\mathbb{P}(\mathcal{R}) \times \mathbb{P}_2$:

$$0 \to \mathfrak{a} \boxtimes \mathcal{O}(-l) \to \mathcal{F} \to (\pi \times id_{\mathbb{P}_2})^*(\mathcal{I}(0,l)) \to 0$$

où $\pi: \mathbb{P}(\mathcal{R}) \to \operatorname{Hilb}^{n+l^2}(\mathbb{P}_2)$ est le morphisme canonique. La classe \mathfrak{u} est celle du faisceau $\mathcal{O}_H(-1)$, où H est une droite de \mathbb{P}_2 . On a alors par changement de base

$$\mathcal{D}_{a_{max_{-}},\mathfrak{u}} = \mathcal{O}(l\mathfrak{a}) \otimes \pi^{*}(\lambda_{\mathcal{O}_{\Xi}}(\mathfrak{u}(l))$$
$$= \mathcal{O}(l\mathfrak{a}) \otimes \pi^{*}(\lambda_{\mathcal{O}_{\Xi}}(\mathfrak{u}))$$

d'après [LeP-Durham], prop. 2.9. Le fibré inversible $\lambda_{\mathcal{O}_{\Xi}}(\mathfrak{u})$ est le fibré déterminant de Donaldson \mathfrak{d} . Ceci démontre le lemme. \square

Il reste maintenant à enlever le fermé image réciproque du lieu de Brill-Noether B, qui est de codimension ≥ 2 , pour obtenir le résultat du théorème.

4 Sections de $S^l\mathcal{R} \otimes \mathfrak{d}$ sur le schéma de Hilbert

Le but de cette section est de terminer la démonstration du théorème 1.1. On supposera partout dans la suite que $n \geq 3$. On sait par le théorème 3.8 que pour $l(l-1) \leq n < (l+1)(l+2)$, on a un isomorphisme $H^0(\mathbf{M}, \mathcal{D}) = H^0(U, S^l \mathcal{R} \otimes \mathfrak{d})$ où U est l'ouvert du schéma de Hilbert $H^{l}(\mathbb{P}_2)$ où le faisceau \mathcal{R} est localement libre. Cet ouvert a son complémentaire de codimension $\geq 2l$. Il est invariant sous l'action de SL(3).

Lorsqu'il n'est pas spécifié, les produits tensoriels de faisceaux algébriques considérés sont des produits tensoriels sur le faisceau structural du schéma de base. Les fibrés vectoriels sont identifiés à des faisceaux localement libres de rang fini.

On va se concentrer maintenant sur ce nouvel espace de sections $H^0(U, S^l \mathcal{R} \otimes \mathfrak{d})$. On note $m = n + l^2$.

Soit $\Xi \subset \operatorname{Hilb}^m(\mathbb{P}_2) \times \mathbb{P}_2$ le sous-schéma universel, $pr_1 : \Xi \to \operatorname{Hilb}^m(\mathbb{P}_2)$ et $pr_2 : \Xi \to \mathbb{P}_2$ les deux projections, et \mathcal{I}_Ξ le faisceau d'idéaux associé. Le faisceau \mathcal{R} est défini comme $\mathcal{R} = R^1 pr_{1*}(\mathcal{I}_\Xi(2l-3))$. On note k = 2l - 3. En partant de la suite exacte fondamentale associée à Ξ sur $\operatorname{Hilb}^m(\mathbb{P}_2) \times \mathbb{P}_2$:

$$0 \to \mathcal{I}_{\Xi} \to \mathcal{O} \to \mathcal{O}_{\Xi} \to 0$$

tensorisée par $pr_2^*(\mathcal{O}_{\mathbb{P}_2}(k))$ et restreinte à l'ouvert $U \times \mathbb{P}_2$ de $\mathrm{Hilb}^m(\mathbb{P}_2) \times \mathbb{P}_2$ on trouve la suite exacte

$$0 \to \mathcal{I}_{\Xi}(k)|_{U \times \mathbb{P}_2} \to \mathcal{O}(k)|_{U \times \mathbb{P}_2} \to \mathcal{O}_{\Xi}(k)|_{U \times \mathbb{P}_2} \to 0$$

Par image directe sur U par la projection pr_1 , on obtient une présentation SL(3)-équivariante de \mathcal{R} sur U:

$$0 \to pr_{1*}(\mathcal{I}_{\Xi}(k)) \to pr_{1*}(\mathcal{O}(k)) \to pr_{1*}(\mathcal{O}_{\Xi}(k)) \to \mathcal{R} \to R^1pr_{1*}(\mathcal{O}(k)) \to 0$$

Par définition de U on a $H^0(\mathbb{P}_2, \mathcal{I}_Z(k)) = 0$ pour les schémas $Z \in U$, donc par le théorème de semicontinuité on a une suite exacte de faisceaux localement libres sur U:

$$0 \to \mathrm{H}^0(\mathbb{P}_2, \mathcal{O}(k)) \otimes \mathcal{O}_U \to pr_{1*}(\mathcal{O}_{\Xi}(k))|_U \to \mathcal{R} \to 0$$
 (1)

On obtient par suite une résolution SL(3)-équivariante de $S^l \mathcal{R} \otimes \mathfrak{d}$ par le complexe de Koszul K défini en degré i par $K^i = \Lambda^{-i}S^k E \otimes S^{l+i} \mathcal{V}_k \otimes \mathfrak{d}$ pour $i = 0, \ldots, l$ où $\mathcal{V}_k = pr_{1*}(\mathcal{O}_{\Xi}(k)), E = H^0(\mathbb{P}_2, \mathcal{O}(1))$:

$$K^{\cdot} \to S^l \mathcal{R} \otimes \mathfrak{d}.$$
 (2)

Par suite la cohomologie de $S^l \mathcal{R} \otimes \mathfrak{d}$ se calcule à l'aide de la suite spectrale $E_2^{p,q} = H^q(K^{-p})$ dont l'aboutissement en degré 0 est $H^0(U, S^l \mathcal{R} \otimes \mathfrak{d})$.

Pour les faisceaux localement libres K^i on va se placer indifféremment sur les restrictions à U ou sur $\mathrm{Hilb}^m(\mathbb{P}_2)$ tout entier, puisqu'on s'intéresse seulement à la cohomologie de ces faisceaux jusqu'en degré l; comme le complémentaire de U est de codimension $\geq 2l$, celle-ci coïncide sur U avec la cohomologie sur tout $\mathrm{Hilb}^m(\mathbb{P}_2)$ jusqu'en degré 2l-2, par les propriétés de la cohomologie locale ([Grot]). Pour l=1, $U=\mathrm{Hilb}^m(\mathbb{P}_2)$.

Lemme 4.1 Pour
$$q > 0$$
, $H^q(Hilb^m(\mathbb{P}_2), \mathfrak{d}) = 0$ et $H^0(Hilb^m(\mathbb{P}_2), \mathfrak{d}) = S^m E$.

Preuve du lemme : Le résultat découle par le théorème de Kawamata-Viehweg (voir [C-K-M], page 52, thm.8.3.), \mathfrak{d} étant le fibré déterminant, big et nef, sur le schéma de Hilbert vu comme espace de modules de faisceaux sans torsion de rang 1 sur \mathbb{P}_2 , de classes de Chern $c_1 = 0, c_2 = m$.

Soit π le morphisme de Hilbert-Chow, π : Hilb $^m(\mathbb{P}_2) \to S^m(\mathbb{P}_2)$ qui associe à un schéma fini Z le cycle $\sum_{x \in \mathbb{P}_2} \lg Z_x x$ dans $S^m(\mathbb{P}_2)$, la puissance symétrique m-ième de \mathbb{P}_2 . Naturellement, l'espace $S^m(\mathbb{P}_2)$ est le quotient de la puissance m-ième \mathbb{P}_2^m de \mathbb{P}_2 par le groupe symétrique \mathfrak{S}_m . Il est constitué de cycles, combinaisons linéaires de points distincts x_i de \mathbb{P}_2 ,

$$\sum_{\sum_{i} \lambda_i = m} \lambda_i[x_i],$$

à coefficients $\lambda_i > 0$. Le support d'un schéma fini de longueur m est un tel cycle, si on tient compte des multiplicités des points. Le morphisme de Hilbert-Chow vérifie $\pi_*\mathcal{O}_{\mathrm{Hilb}^m(\mathbb{P}_2)} = \mathcal{O}_{\mathrm{S}^m(\mathbb{P}_2)}$ et (cf. [LeP-Durham])

$$\pi^*(\mathcal{O}(1,1,\ldots,1)^{\mathfrak{S}_m}) = \mathfrak{d}. \tag{3}$$

On obtient alors $\mathrm{H}^0(\mathrm{Hilb}^m(\mathbb{P}_2),\mathfrak{d})=\mathrm{H}^0(\mathrm{S}^m(\mathbb{P}_2),\pi_*(\mathfrak{d}))=\mathrm{H}^0(\mathbb{P}_2^m,\mathcal{O}(1,\cdots,1))^{\mathfrak{S}_m}=\mathrm{S}^m\mathrm{H}^0(\mathbb{P}_2,\mathcal{O}(1))=\mathrm{S}^mE.\square$

Dans [D], il est démontré que $H^0(\operatorname{Hilb}^m(\mathbb{P}_2), \mathcal{V}_k \otimes \mathfrak{d}) = S^{2l-2}E \otimes S^{m-1}E$ et que $H^q(\operatorname{Hilb}^m(\mathbb{P}_2), \mathcal{V}_k \otimes \mathfrak{d}) = 0$ pour q > 0. Comme annoncé dans l'introduction (th. 1.2), on montrera aussi que $H^1(\operatorname{Hilb}^m(\mathbb{P}_2), S^2\mathcal{V}_k \otimes \mathfrak{d}) = 0$ et on calculera $H^0(\operatorname{Hilb}^m(\mathbb{P}_2), S^2\mathcal{V}_k \otimes \mathfrak{d})$ et $H^0(\operatorname{Hilb}^m(\mathbb{P}_2), S^3\mathcal{V}_3 \otimes \mathfrak{d})$. On peut ainsi calculer $H^0(\operatorname{Hilb}^m(\mathbb{P}_2), S^l\mathcal{X}_k \otimes \mathfrak{d})$ pour l = 1, 2, 3. Pour aller plus loin on se heurte à des difficultés liées au calcul des $H^q(\operatorname{Hilb}^m(\mathbb{P}_2), S^l\mathcal{V}_k \otimes \mathfrak{d})$ pour l = 0, l > 3 ou l = 0, l > 3 ou l = 0, l > 3.

Ceci limite le calcul du $H^0(U, S^l \mathcal{R} \otimes \mathfrak{d})$ à l = 3 ce qui restreint les valeurs de n à $n \leq 19$.

On commence par remarquer que pour le calcul d'un espace de sections d'un fibré sur $\operatorname{Hilb}^m(\mathbb{P}_2)$ on peut se placer sur un grand ouvert de $\operatorname{Hilb}^m(\mathbb{P}_2)$, pourvu que cet ouvert ait un complémentaire de codimension au moins 2. Ceci est le cas pour l'ouvert $\operatorname{Hilb}^m_*(\mathbb{P}_2)$ formé par les schémas avec au plus un point multiple, qui soit double, soit les schémas dont le cycle correspondant est $x_1 + x_2 + \cdots + x_m$ ou $2x_1 + x_3 + x_4 + \cdots + x_m$ avec x_i distincts. On note $\operatorname{S}^m_*(\mathbb{P}_2)$ l'ouvert des cycles de cette forme. L'avantage d'utiliser $\operatorname{Hilb}^m_*(\mathbb{P}_2)$ est qu'on peut le décrire comme quotient q de l'éclaté B de $\mathbb{P}^m_{2*} = p^{-1}(\operatorname{S}^m_*(\mathbb{P}_2))$ (où $p: \mathbb{P}^m_2 \to \operatorname{S}^m(\mathbb{P}_2)$ est le quotient de \mathbb{P}^m_2 sous l'action du groupe symétrique \mathfrak{S}_m) selon la réunion D des diagonales $\Delta_{ij} = \{(x_1, \cdots, x_m) \in \mathbb{P}^m_{2*} | x_i = x_j\}$ pour i < j, disjointes dans \mathbb{P}^m_{2*} . On note ρ cet éclatement. On a un diagramme commutatif:

$$\begin{array}{ccc}
B & \xrightarrow{\rho} & \mathbb{P}_{2*}^m \\
\downarrow^q & & \downarrow^p \\
\operatorname{Hilb}_*^m(\mathbb{P}_2) & \xrightarrow{\pi} & \operatorname{S}_*^m(\mathbb{P}_2)
\end{array}$$

On montrera comment, à l'aide de cette description, on peut ramener les calculs de la cohomologie des fibrés sur $\mathrm{Hilb}_*^m(\mathbb{P}_2)$ à des calculs des invariants de la cohomologie de certains faisceaux sur \mathbb{P}_{2*}^m . On utilise les mêmes notations $\mathrm{Hilb}_*^m(X)$ et X_*^m pour une surface quelconque X.

4.1 Une filtration

On introduit ici des notations et des résultats très utiles pour la suite. On va se placer dans le cadre général d'une variété algébrique lisse M, munie d'un fibré de rang r, W, et d'un fibré L sur une sous-variété lisse D de M. On note W_D la restriction de W à D.

On considère un morphisme surjectif $\epsilon:W \twoheadrightarrow L$. Le noyau de ce morphisme définit un faisceau sans torsion V. Ce morphisme induit un morphisme surjectif de fibrés en algèbres graduées $\operatorname{Sym} \epsilon: \operatorname{Sym} W = \bigoplus_{i>0} \operatorname{S}^i W \twoheadrightarrow \operatorname{Sym} L = \bigoplus_{i>0} \operatorname{S}^i L$, noté encore ϵ . On note I le faisceau noyau.

Considérons la filtration F^k Sym $W = I^k$ Sym W, pour $k \ge 0$; elle est compatible avec la graduation.

Proposition 4.2 Soit \mathcal{N} le fibré conormal de D dans M et K le noyau du morphisme canonique $\epsilon|_D$ (noté encore ϵ): $W_D \to L$. Le gradué associé à cette filtration est donné par

$$\operatorname{gr}_q(I^p/I^{p+1}) = \operatorname{S}^q \mathcal{N} \otimes \operatorname{S}^{p-q} K[-p+q] \otimes \operatorname{Sym} L$$
 (4)

 $si p \ge q \ge 0$ et 0 sinon.

Preuve:

Afin de décrire le gradué associé à cette filtration on va considérer Sym W comme image directe de l'algèbre des fonctions régulières \mathcal{O}_{W^*} sur l'espace total du fibré dual W^* , par la projection canonique $p:W^*\to M$, et Sym L comme image directe de l'algèbre des fonctions régulières \mathcal{O}_{L^*} sur l'espace total du fibré dual L^* , par la restriction de p à $L^*\subset W^*$, notée encore $p:L^*\to D$.

On désigne par W_D la restriction de W à D. Considérons les inclusions de variétés lisses

$$L^* \subset W_D^* \subset W^* \tag{5}$$

et désignons par \mathcal{I} l'idéal de L^* dans W^* , par \mathcal{J} l'idéal de W_D^* dans W^* , et par \mathcal{I}_D l'idéal de L^* dans W_D^* . On a une suite exacte $0 \to \mathcal{J} \to \mathcal{I} \xrightarrow{r} \mathcal{I}_D \to 0$ où r est le morphisme de restriction. On considère les filtrations de \mathcal{O}_{W^*} et $\mathcal{O}_{W_D^*}$ définies par les puissances des idéaux \mathcal{I} et \mathcal{I}_D .

Comme p est un morphisme affine, W^* est un schéma affine sur M, il y a une correspondance entre les faisceaux d'idéaux de \mathcal{O}_{W^*} et les idéaux de Sym W donnée par $\mathcal{I} \mapsto p_*(\mathcal{I})$. L'idéal \mathcal{I} se correspond ainsi à I et \mathcal{I}^k à I^k . De cette façon, la filtration de Sym $W = p_*(\mathcal{O}_{W^*})$ définie par image directe coïncide avec la filtration définie par l'idéal $I = p_*(\mathcal{I})$ noyau du morphisme ϵ . Les fibrés conormaux correspondants aux inclusions (5) s'écrivent $\mathcal{N}_{L^*/W^*} = N^*_{L^*/W^*} = \mathcal{I}/\mathcal{I}^2$, $\mathcal{N}_{W_D^*/W^*} = N^*_{W_D^*/W^*} = \mathcal{I}/\mathcal{I}^2$, $\mathcal{N}_{L^*/W^*} = \mathcal{I}/\mathcal{I}_D^2$ et on a une suite exacte

$$0 \to \mathcal{N}_{W_D^*/W^*}|_{L^*} \to \mathcal{N}_{L^*/W^*} \to \mathcal{N}_{L^*/W_D^*} \to 0$$
 (6)

Le fibré conormal $\mathcal{N}_{W_D^*/W^*}|_{L^*}$ s'identifie à $p^*(\mathcal{N})$ et \mathcal{N}_{L^*/W_D^*} à $p^*(K)$. La suite (6) devient

$$0 \to p^*(\mathcal{N}) \to \mathcal{I}/\mathcal{I}^2 \to p^*(K) \to 0. \tag{7}$$

À partir de cette suite exacte on obtient une filtration décroissante du \mathcal{O}_{L^*} -module $S^p(\mathcal{I}/\mathcal{I}^2) = \mathcal{I}^p/\mathcal{I}^{p+1} = \operatorname{gr}_p(\mathcal{O}_{W^*})$ par des \mathcal{O}_{L^*} -modules

$$\mathrm{F}^q(\mathrm{S}^p\mathcal{N}_{L^*/W^*}) = \mathrm{Im}((\mathcal{J}/J^2)^{\otimes q} \otimes (\mathcal{I}/\mathcal{I}^2)^{\otimes (p-q)} \to \mathrm{S}^p(\mathcal{I}/\mathcal{I}^2)) = \mathrm{Im}(\mathcal{J}^q\mathcal{I}^{p-q} \to \mathcal{I}^p/\mathcal{I}^{p+1})$$

si $p \ge q \ge 0$ et 0 sinon, de gradué associé

$$\operatorname{gr}_q(\operatorname{S}^p(\mathcal{I}/\mathcal{I}^2)) = \operatorname{S}^q \mathcal{N}_{W_D^*/W^*} \otimes \operatorname{S}^{p-q} \mathcal{N}_{L^*/W_D^*} = p^*(\operatorname{S}^q \mathcal{N} \otimes \operatorname{S}^{p-q} K)$$

si $p \geq q \geq 0$ et 0 sinon. Par application du foncteur image directe p_* qui est exact puisqu'il s'agit d'un morphisme affine, on obtient une filtration de $p_*(\mathcal{I}/\mathcal{I}^{p+1}) = I^p/I^{p+1}$ dont le gradué en degré q est le Sym L-module gradué fourni par la formule de projection

$$\operatorname{gr}_q(I^p/I^{p+1}) = \operatorname{S}^q \mathcal{N} \otimes \operatorname{S}^{p-q} K[-p+q] \otimes \operatorname{Sym} L$$

si $p \geq q \geq 0$ et 0 sinon. Pour comprendre le décalage qui apparaît dans la graduation de $p_*(p^*(S^q\mathcal{N} \otimes S^{p-q}K)) = S^q\mathcal{N} \otimes S^{p-q}K \otimes \operatorname{Sym} L$ il faut comprendre l'action de \mathbb{C}^* sur le fibré conormal $\mathcal{N}_{L^*/W_D^*} = p^*(K)$ et sur le fibré conormal \mathcal{N} . L'action de \mathbb{C}^* sur L^* , W_D^* et W^* est par homothétie, d'où une action sur les trois fibrés normaux et respectivement conormaux . Sur M et D, et par conséquent sur \mathcal{N} , \mathbb{C}^* agit trivialement. Donc la composante homogène de degré i de $p_*(p^*(\mathcal{N}))$ est $\mathcal{N} \otimes \operatorname{Sym}^i L$. Sur $\mathcal{N}_{L^*/W_D^*} = p^*(K)$, l'action est donnée par $\lambda \cdot (x,v) = (\lambda x,\lambda^{-1}v)$ pour $x \in L^*$ et $v \in K_{p(x)}$. Donc la composante homogène de degré i de $p_*(p^*(S^pK))$ est donnée par $S^pK \otimes \operatorname{Sym}^{i-p}L$ si $i \geq p \square$.

Lemme 4.3 L'image de S^kV dans Sym W par le morphisme S^k ι engendre comme idéal I^k en degré $\geq k$ où ι est l'inclusion de V dans W.

Preuve : On va montrer plus précisément que pour $i \geq k$, l'image du morphisme naturel $v_{i,k} : S^k V \otimes S^{i-k}W \to S^iW$ est exactement $(I^k)_i = I^k \cap S^iW$. On commence par un

Sous-lemme 4.4 $Si \ n \geq 1$, l'image du morphisme $v : V \otimes S^{n-1}W \to S^nW$ (qui à $v \otimes w_1 \cdots w_{n-1}$ associe le symétrisé de $\iota(v), w_1, \ldots, w_{n-1}$ dans S^nW , noté $\iota(v)w_1 \cdots w_{n-1}$) est exactement $I_n = \text{Ker}(S^n\epsilon : S^nW \to S^nL)$.

Preuve du sous-lemme : En tensorisant n fois avec elle-même la suite exacte sur M:

$$V \xrightarrow{\iota} W \xrightarrow{\epsilon} L \to 0$$

on trouve une suite exacte

$$T = V \otimes W^{\otimes (n-1)} \oplus W \otimes V \otimes W^{\otimes (n-2)} \oplus \cdots \oplus W^{\otimes (n-1)} \otimes V \to W^{\otimes n} \stackrel{\epsilon^{\otimes n}}{\to} L^{\otimes n} \to 0.$$

Le cas n=2 est la proposition 6, page 8, chap. III-1 de [Bourbaki]. Ce cas se généralise sans peine par récurrence au produit tensoriel d'un nombre fini quelconque de suites. Il suffit alors de remarquer que la suite exacte des invariants par le groupe symétrique \mathfrak{S}_n reste exacte et on a exactement que

$$T^{\mathfrak{S}_n} = V \otimes S^{n-1}W \stackrel{v}{\to} S^nW = (W^{\otimes n})^{\mathfrak{S}_n} \stackrel{S^n \epsilon}{\to} S^nL = (L^{\otimes n})^{\mathfrak{S}_n} \to 0$$

est exacte d'où $I_n = \operatorname{Ker} S^n \epsilon = \operatorname{Im} v$. \square

Preuve du lemme 4.3:

Une section locale α de $(I^k)_i$ s'écrit comme $\alpha = \sum \alpha_1 \cdots \alpha_k$ avec $\alpha_j \in I_{n_j}$ et $\sum_{j=1}^k n_j = i$. Par le sous-lemme 4.4, chaque α_j avec $n_j \neq 0$ provient d'une section $\widetilde{\alpha_j}$ de $V \otimes S^{n_j-1}W$, et si $n_j = 0$, α_j est une section de $I_D = I_0$. Mais $\epsilon(I_D \otimes W) = 0$ donc $I_DW \subset \iota(V)$. Au total, α provient d'une section de $S^kV \otimes S^{i-k}W$. \square

Remarque 4.5 Considérons maintenant un fibré inversible \mathcal{A} sur M. Alors on a un morphisme de Sym Wmodules gradués

$$\mathcal{M} = \operatorname{Sym} W \otimes \mathcal{A} \to \operatorname{Sym} L \otimes \mathcal{A}$$

de noyau $I\mathcal{M}$. Considérons la filtration $I^k\mathcal{M}$. Cette filtration est compatible avec la graduation et le morphisme canonique

$$\Phi: S^kV|_D \otimes_{\mathcal{O}_D} \operatorname{Sym} L[-k] \otimes \mathcal{A}|_D \to I^k \mathcal{M}/I^{k+1} \mathcal{M}$$

est un isomorphisme en degré $\geq k$.

4.2 Éclatement de M le long de D

On considère l'éclatement $\rho:\widetilde{M}\to M$ de M le long de D, et les images réciproques \widetilde{W} et \widetilde{L} de W et L par $\rho:\widetilde{W}=\rho^*(W),\widetilde{L}=\rho^*(L)$. On note \widetilde{V} le noyau du morphisme surjectif , noté encore ϵ , de \widetilde{W} dans \widetilde{L} . Puisque le support de \widetilde{L} est un diviseur (le diviseur exceptionnel \mathbf{E}), \widetilde{V} est localement libre. De manière analogue, on considère le noyau \widetilde{I} de $\epsilon: \operatorname{Sym} \widetilde{W} \to \operatorname{Sym} \widetilde{L}$, et la filtration \widetilde{I}^k de $\operatorname{Sym} \widetilde{W}$.

Lemme 4.6 – (i) Le morphisme canonique $\rho^* : \operatorname{Sym} W \to \rho_*(\operatorname{Sym} \widetilde{W})$ induit un isomorphisme $I^k \stackrel{\sim}{\to} \rho_*(\widetilde{I}^k)$

– (ii) Les images directes $R^q \rho_*(\widetilde{I}^k)$ sont nulles pour q > 0.

Preuve:

L'éclatement ρ vérifie $\rho_*(\mathcal{O}_{\widetilde{M}}) = \mathcal{O}_M$ et $R^q \rho_*(\mathcal{O}_{\widetilde{M}}) = 0$ pour q > 0, d'après le lemme 3.5 de [SGA-6], exposé VII. On a alors, par la formule de projection, un morphisme

$$\operatorname{Sym} W \xrightarrow{\sim} \rho_*(\rho^* \operatorname{Sym} W) = \rho_*(\operatorname{Sym} \widetilde{W})$$

qui est un isomorphisme et de même pour $\operatorname{Sym} L \xrightarrow{\sim} \rho_*(\operatorname{Sym} \widetilde{L})$. On a donc un diagramme commutatif

qui nous assure que $\rho_*\epsilon$ est surjectif et qu'il y a aussi un isomorphisme $I \xrightarrow{\sim} \rho_*(\widetilde{I})$. D'où un morphisme $I^k \to \rho_*(\widetilde{I}^k)$.

On suppose par récurrence que pour tout $i \leq k$ on a le résultat (pour k = 0 ceci est clair : Sym $W \xrightarrow{\sim} \rho_*(\operatorname{Sym} \widetilde{W})$ et $R^q \rho_*(\operatorname{Sym} \widetilde{W}) = 0$ pour q > 0) et on va le prouver pour k + 1. On a un morphisme de suites exactes

où b est un isomorphisme. On commence par prouver que c est un isomorphisme et que $R^q \rho_*(\widetilde{I}^k/\widetilde{I}^{k+1}) = 0$ pour q > 0. On en déduira que d est surjectif d'où a sera un isomorphisme et $R^q \rho_*(\widetilde{I}^{k+1}) = 0$ pour q > 0.

Mais on a construit dans la précédente section une filtration de chacun des faisceaux I^k/I^{k+1} et $\widetilde{I}^k/\widetilde{I}^{k+1}$ de gradués connus. Ces faisceaux sont supportés par D et \mathbf{E} respectivement et le morphisme π en restriction à D s'écrit comme $\rho: \mathbf{E} = \mathbb{P}(\mathcal{N}_D^*) \to D$. Le noyau \widetilde{K} de $\widetilde{W}|_{\mathbf{E}} \to \widetilde{L}$ s'identifie à l'image réciproque de K. Le fibré conormal à \mathbf{E} , $\mathcal{N}_{\mathbf{E}}$, est dans ce cas le fibré $\mathcal{O}(1)$ relatif sur cet espace projectif (on a pris le projectif de Grothendieck). La filtration \widetilde{F}^j de $\widetilde{I}^k/\widetilde{I}^{k+1}$ est de gradué

$$\operatorname{gr}_{j}(\widetilde{I}^{k}/\widetilde{I}^{k+1}) = \operatorname{S}^{j}\mathcal{N}_{\mathbf{E}} \otimes \operatorname{S}^{k-j}K[-k+j] \otimes \operatorname{Sym} \widetilde{L}$$

si $k \ge j \ge 0$ et 0 sinon.

Comme $R^q \rho_*(\operatorname{gr}_j(\widetilde{I}^k/\widetilde{I}^{k+1})) = R^q \rho_*(\operatorname{S}^j \mathcal{N}_{\mathbf{E}}) \otimes \operatorname{S}^{k-j} K[-k+j] \otimes \operatorname{Sym} L$ et que $\rho_*(\operatorname{S}^j \mathcal{N}_{\mathbf{E}}) = \operatorname{S}^j \mathcal{N}_D$ et $R^q \rho_*(\operatorname{S}^j \mathcal{N}_{\mathbf{E}}) = 0$ pour q > 0 on obtient une filtration $\operatorname{F}^j = \rho_*(\widetilde{\operatorname{F}}^j)$ de $\rho_*(\widetilde{I}^k/\widetilde{I}^{k+1})$ de gradué

$$\rho_*(\operatorname{gr}_j(\widetilde{I}^k/\widetilde{I}^{k+1})) = \operatorname{S}^j \mathcal{N}_D \otimes \operatorname{S}^{k-j} K[-k+j] \otimes \operatorname{Sym} L = \operatorname{gr}_j(I^k/I^{k+1})$$

si $k \geq j \geq 0$ et 0 sinon, et telle que $R^q \rho_*(\mathbf{F}^j) = 0$ si q > 0, pour tout j. En particulier pour j = 0 on obtient que $R^q \rho_*(\widetilde{I}^k/\widetilde{I}^{k+1}) = 0$ pour q > 0. Le morphisme c est compatible avec les filtrations et induit l'identité sur les gradués, d'où aussi l'isomorphisme $c : I^k/I^{k+1} \xrightarrow{\sim} \rho_*(\widetilde{I}^k/\widetilde{I}^{k+1})$.

Corollaire 4.7 – (i) L'image de l'inclusion canonique $\phi: \rho_*(S^k\widetilde{V}) \hookrightarrow S^kW$ est exactement $(I^k)_k$. – (ii) $R^q \rho_*(S^k\widetilde{V}) = 0$ pour q > 0.

Preuve:

Cela revient à écrire les résultats du lemme 4.6 en degré k en tenant compte du lemme 4.3 et du fait que $S^k \widetilde{\iota} : S^k \widetilde{V} \hookrightarrow S^k \widetilde{W}$ reste une inclusion, ou $\widetilde{\iota}$ est l'inclusion de \widetilde{V} dans \widetilde{W} . \square

4.3 Calculs de cohomologie sur $Hilb_*^m(\mathbb{P}_2)$

On appliquera ici les résultats des deux sections précédentes à notre situation particulière. On n'aura pas besoin ici de se placer sur le plan projectif. Les résultats restent valables sur une surface algébrique lisse quasi-projective quelconque X. La description de $\operatorname{Hilb}_*^m(X)$ se fait alors exactement comme pour \mathbb{P}_2 , en utilisant l'éclatement B de X_*^m :

$$\begin{array}{ccc}
B & \stackrel{\rho}{\longrightarrow} & X_*^m \\
\downarrow^q & & \downarrow^p \\
\text{Hilb}_*^m(X) & \stackrel{\pi}{\longrightarrow} & S_*^m(X)
\end{array}$$

On considère plus généralement le fibré \mathcal{V}_L sur $\mathrm{Hilb}^m(X)$ associé à un fibré L sur X, $\mathcal{V}_L = pr_{1*}(\mathcal{O}_\Xi \otimes pr_2^*(L))$ où pr_1 et pr_2 sont les deux projections du schéma universel $\Xi \subset \mathrm{Hilb}^m(X) \times X$ sur $\mathrm{Hilb}^m(X)$ et respectivement X.

On garde les notations introduites juste avant la section 4.1 pour les diagonales D et Δ_{ij} de X_*^m . Sur B, le diviseur exceptionnel \mathbf{E} se décompose en composantes disjointes $\mathbf{E} = \bigcup_{i < j} \mathbf{E}_{i,j}$. Alors le schéma universel $\Xi_B \subset B \times X$, paramétré par B, a m composantes irréductibles Ξ_i et la projection $pr_1 : \Xi_i \cap \Xi_j \to \mathbf{E}_{i,j}$ est un isomorphisme. On en déduit une suite exacte sur $B \times X$:

$$0 \to \mathcal{O}_{\Xi_B} \to \bigoplus_i \mathcal{O}_{\Xi_i} \to \bigoplus_{i < j} \mathcal{O}_{\mathbf{E}_{i,j}} \to 0 \tag{8}$$

et comme, par changement de base, $q^*(\mathcal{V}_L) = pr_{1*}(\mathcal{O}_{\Xi_B} \otimes pr_2^*(L))$, on a, après tensorisation par $pr_2^*(L)$ de la suite (8) et image directe par pr_1 , une suite exacte sur B:

$$0 \to q^*(\mathcal{V}_L) \to \bigoplus_i p_i^*(L) \to \bigoplus_{i < j} p_{i,j}^*(L_\Delta) \to 0$$

où p_i désigne aussi bien la *i*-ème projection $X^m_* \to X$ que sa composée avec $\rho: B \to X$; de même pour $p_{i,j}: X^m_* \to X \times X$ et $p_{i,j}: B \to X \times X$.

Le sous-schéma Ξ_i est l'image réciproque de la diagonale Δ de $X \times X$ par l'application (p_i, id_X) . Le fibré L_{Δ} est l'image réciproque de L par l'une des projections de la diagonale de $X \times X$ sur X, qui sont des isomorphismes.

Le fibré $\widetilde{\mathcal{L}} = \bigoplus_{i < j} p_{i,j}^*(L_{\Delta})$ a pour support le diviseur exceptionnel **E**. Il est l'image réciproque par ρ du fibré $\mathcal{L} = \bigoplus_{i < j} p_{i,j}^*(L_{\Delta})$ sur X_*^m , dont le support est D.

On note aussi \widetilde{W} et W le fibré $\oplus_i p_i^*(L)$ sur B et sur X_*^m respectivement. On reconnaît maintenant la variété $M = X_*^m$ et $\widetilde{M} = B$, et le fibré $\widetilde{V} = q^*(\mathcal{V}_L)$. Le groupe symétrique $G = \mathfrak{S}_m$ opère sur la situation. Toutes les filtrations qui interviennent sont invariantes sous l'action de G, et les morphismes sont G-équivariants. Comme le morphisme ϵ est donné par $(s_i)_i \mapsto (s_i|_D - s_j|_D)_{i,j}$, l'action induite sur \mathcal{L} et \widetilde{L} est telle que la transposition $\tau_{i,j}$ qui échange i et j change le terme d'indice (i,j) en son opposé. Le groupe G étant fini, la cohomologie du faisceau des invariants F^G sur $\operatorname{Hilb}_*^m(X)$ (ou sur $\operatorname{S}_*^m(X)$), où F est un G-faisceau algébrique cohérent sur B (ou sur X_*^m) s'identifie à la cohomologie équivariante de F, c'est-à-dire aux invariants de la cohomologie de F.

Le théorème suivant nous montre comment on peut ramener le calcul de la cohomologie de $S^l \mathcal{V}_L$ sur $Hilb^m_*(X)$ à un calcul de cohomologie équivariante sur X^m_* :

Théorème 4.8 – (i) Il existe une inclusion canonique $\pi_*(S^l \mathcal{V}_L) \hookrightarrow (\operatorname{Sym} W)^G$ sur $S^m_*(X)$, dont l'image est exactement $(I^l)_l^G$, partie homogène de degré l de $(I^l)^G$.

- (ii)
$$R^q \pi_*(S^l \mathcal{V}_L)|_{S^m_* X} = 0 \ pour \ q > 0.$$

Preuve:

Le foncteur image directe invariante q_*^G est défini comme il suit : pour un faisceau F sur B, et un ouvert U de $\mathrm{Hilb}_*^m(X)$, $q_*^G(F)(U) = (F(q^{-1}(U)))^G$, ce qui a un sens puisque $q^{-1}(U)$ est un ouvert G-invariant de B. En utilisant les propriétés des variétés quotient par un groupe fini, on obtient $\mathcal{O}_B^G = q_*^G(\mathcal{O}_B) = \mathcal{O}_{\mathrm{Hilb}_*^m(X)}$ d'où $q_*^G(\mathrm{S}^l\widetilde{V}) = \mathrm{S}^l\mathcal{V}_L$.

On en déduit que $\pi_*(S^l \mathcal{V}_L) = \pi_* q_*^G(S^l \widetilde{V}) = p_*^G \rho_*(S^l \widetilde{V})$ qui se plonge canoniquement dans $p_*^G(S^l W)$, avec $p_*^G((I^l)_l) = (I^l)_l^G$ pour image. Les morphismes p et q sont finis donc leurs images directes supérieures sont nulles. Par composition des foncteurs dérivés $R\pi_*, Rp_*^G = p_*^G, R\rho_*$ et $Rq_*^G = q_*^G$ on trouve que $R\pi_*(S^l \mathcal{V}_L) = R\pi_*(q_*^G(S^l \widetilde{V})) = R\pi_* \circ Rq_*^G(S^l \widetilde{V}) = Rp_*^G \circ R\rho_*(S^l \widetilde{V}) = p_*^G R\rho_*(S^l \widetilde{V})$ d'où la nullité des $R^q \pi_*(S^l \mathcal{V}_L)$ pour q > 0 sur $S_*^m(X)$. \square

Corollaire 4.9 – (i)
$$H^0(\operatorname{Hilb}^m(\mathbb{P}_2), S^l \mathcal{V}_L \otimes \mathfrak{d}^{\otimes s}) = H^0(\mathbb{P}_2^m, (I^l)_l \otimes \mathcal{O}(s, \dots, s))^G$$
 – (ii) $H^q(\operatorname{Hilb}_*^m(\mathbb{P}_2), S^l \mathcal{V}_L \otimes \mathfrak{d}^{\otimes s}) = H^q(\mathbb{P}_{2*}^m, (I^l)_l \otimes \mathcal{O}(s, \dots, s))^G \text{ pour } q > 0.$

Preuve:

Compte-tenu du fait que $\mathfrak{d} = \pi^*(\mathcal{O}(1,\ldots,1)^G)$ il suffit d'écrire $R^q\pi_*(S^l\mathcal{V}_L\otimes\mathfrak{d}^{\otimes s}) = R^q\pi_*(S^l\mathcal{V}_L)\otimes\mathcal{O}(s,\ldots,s)^G = ((I^l)_l\otimes\mathcal{O}(s,\ldots,s))^G$ si q=0 et 0 sinon, et d'utiliser les propriétés de cohomologie locale pour (i) et la suite spectrale de Leray pour (ii).

Corollaire 4.10 Le théorème 1.1 est vrai pour $n \leq 11$.

Remarque 4.11 La démonstration utilise le corollaire 5.8 qui sera démontré au paragraphe 5.4, mais je préfère la donner ici pour motiver le travail fait dans le chapitre 5.

Preuve : Regardons le cas l=1. On rappelle que $E=\mathrm{H}^0(\mathbb{P}_2,\mathcal{O}(1))$. Pour $L=\mathcal{O}_{\mathbb{P}_2}(2l-3)$ il faut calculer $\mathrm{H}^0(\mathbb{P}_2^m,V\otimes\mathcal{O}(1,\ldots,1))^G$ où V est le noyau du morphisme surjectif $W=L_1\oplus\cdots\oplus L_m\twoheadrightarrow\mathcal{L}=\oplus_{i< j}L_{\Delta_{ij}}$. On tensorise la suite exacte $0\to V\to W\to\mathcal{L}\to 0$ par $\mathcal{O}(1,\ldots,1)$ et on écrit la suite exacte de cohomologie équivariante. On a vu que \mathcal{L} n'avait pas de cohomologie \mathfrak{S}_m -équivariante. On obtient ainsi

$$H^{0}(\mathbb{P}_{2}^{m}, V \otimes \mathcal{O}(1, \dots, 1))^{G} = H^{0}(\mathbb{P}_{2}^{m}, \bigoplus_{i} \mathcal{O}(1, \dots, 2l - 2, 1, \dots, 1))^{G} =$$

$$= H^{0}(\mathbb{P}_{2}, \mathcal{O}(2l - 2)) \otimes S^{m-1}H^{0}(\mathbb{P}_{2}, \mathcal{O}(1)) = S^{2l-2}E \otimes S^{m-1}E.$$
(9)

On trouve aussi $H^q(\mathbb{P}_2^m, V \otimes \mathcal{O}(1, \dots, 1))^G = H^q(\mathbb{P}_{2*}^m, V \otimes \mathcal{O}(1, \dots, 1))^G$ pour $q \leq 2$ (puisque le complémentaire de l'ouvert \mathbb{P}_{2*}^m dans \mathbb{P}_2^m est de codimension 4) et comme le membre de gauche est nul pour $q \geq 1$, celui de droite est nul pour q = 1 et q = 2. Donc $H^1(\operatorname{Hilb}_*^m(\mathbb{P}_2), \mathcal{V}_k \otimes \mathfrak{d}) = 0$ d'où aussi $H^1(\operatorname{Hilb}^m(\mathbb{P}_2), \mathcal{V}_k \otimes \mathfrak{d}) = 0$. À partir de la présentation (1) de \mathcal{R} , avec k remplacé par $2l - 3 = 2 \cdot 1 - 3 = -1$, et $m = n + l^2 = n + 1$, on obtient $\mathcal{V}_{\mathcal{O}(-1)} \simeq \mathcal{R}$ et

$$\dim H^0(\mathcal{R} \otimes \mathfrak{d}) = \dim H^0(\mathcal{V}_{\mathcal{O}(-1)} \otimes \mathfrak{d}) = \dim S^n E = \frac{(n+1)(n+2)}{2}$$

pour n tel que $3 \le n \le 5$.

Passons ensuite à l=2. Il faut calculer cette fois-ci $\mathrm{H}^0(\mathbb{P}_2^m,(I^2)_2\otimes\mathcal{O}(1,\ldots,1))^G$. On regarde les suites exactes associées à la filtration de S^2W :

$$0 \to I_2 \to S^2W \to \operatorname{gr}_0(S^2W) \to 0$$

$$0 \to (I^2)_2 \to I_2 \to gr_1(S^2W) \to 0$$

On sait que $gr_0(S^2W) = S^2\mathcal{L}$. On démontrera plus tard (cor.5.8) que $gr_i(S^lW)$ n'a pas de cohomologie équivariante si l-i est impair.

En écrivant les suites exactes de cohomologie équivariante, après avoir tensorisé par $\mathcal{O}(1,\ldots,1)$, on obtient

$$\mathrm{H}^q((I^2)_2\otimes\mathcal{O}(1,\ldots,1))^G\simeq\mathrm{H}^q(I_2\otimes\mathcal{O}(1,\ldots,1))^G, \forall q\geq 0,$$

et que $H^0(I_2 \otimes \mathcal{O}(1,\ldots,1))^G$ est le noyau du morphisme

$$mor: H^0(S^2W \otimes \mathcal{O}(1,\ldots,1))^G \to H^0(S^2\mathcal{L} \otimes \mathcal{O}(1,\ldots,1))^G.$$

À l'aide de la proposition 2.1 ces espaces d'invariants se calculent aisément pour donner

$$H^{0}(S^{2}W \otimes \mathcal{O}(1,\ldots,1))^{G} = S^{2(2l-3)+1}E \otimes S^{m-1}E \oplus S^{2}(S^{2l-3+1}E) \otimes S^{m-2}E$$

$$H^{0}(S^{2}\mathcal{L} \otimes \mathcal{O}(1,\ldots,1))^{G} = S^{2(2l-3)+2}E \otimes S^{m-2}E.$$

La composante de mor sur le second facteur est induite par le morphisme de restriction

$$H^{0}(\mathbb{P}_{2} \times \mathbb{P}_{2}, \mathcal{O}(2l-3+1) \boxtimes \mathcal{O}(2l-3+1)) \to H^{0}(\mathcal{O}_{D}(2(2l-3)+2)).$$

Le morphisme mor est alors surjectif et on peut calculer la dimension de son noyau. L'espace $H^1((I^2)_2 \otimes \mathcal{O}(1,\ldots,1))^G$ s'injecte dans $H^1(S^2W \otimes \mathcal{O}(1,\cdots,1))^G = 0$: il est donc nul. On obtient donc aussi la nullité de $H^1(\operatorname{Hilb}^m(\mathbb{P}_2),S^2\mathcal{V}_L \otimes \mathfrak{d})$.

À partir de la présentation (2) de $S^2 \mathcal{R} \otimes \mathfrak{d}$, et des annulations de la cohomologie supérieure obtenues, il résulte une suite exacte de représentations

$$0 \to \Lambda^2 E \otimes \mathrm{H}^0(\mathfrak{d}) \to E \otimes \mathrm{H}^0(\mathcal{V}_1 \otimes \mathfrak{d}) \to \mathrm{H}^0(\mathrm{S}^2 \mathcal{V}_1 \otimes \mathfrak{d}) \to \mathrm{H}^0(\mathrm{U}, \mathrm{S}^2 \mathcal{R} \otimes \mathfrak{d}) \to 0$$

On en déduit

$$\dim H^{0}(U, S^{2}\mathcal{R} \otimes \mathfrak{d}) = \dim S^{3}E \otimes S^{n+3}E \oplus S^{2}(S^{2}E) \otimes S^{n+2}E$$
$$-\dim S^{4}E \otimes S^{n+2}E - \dim E \otimes S^{2}E \otimes S^{n+3}E + \dim \Lambda^{2}E \otimes S^{n+4}E.$$

Par suite,

$$\dim \mathcal{H}^0(U, \mathcal{S}^2 \mathcal{R} \otimes \mathfrak{d}) = 10 \binom{n+5}{2} + 21 \binom{n+4}{2}$$
$$-15 \binom{n+4}{2} - 18 \binom{n+5}{2} + 3 \binom{n+6}{2} = \frac{1}{2}(n+1)(n+2).$$

On a ainsi démontré le théorème 1.1 pour tout n tel que $3 \le n \le 11.\square$

Les vraies difficultés apparaissent à partir de l=3. On écrit à nouveau les suites exactes associées à la filtration de S^3W :

$$0 \to I_3 \to S^3 W \to S^3 \mathcal{L} \to 0$$
$$0 \to (I^2)_3 \to I_3 \to \operatorname{gr}_1(S^3 W) \to 0$$
$$0 \to (I^3)_3 \to (I^2)_3 \to \operatorname{gr}_2(S^3 W) \to 0$$

Comme on le verra dans le corollaire 5.8, $gr_2(S^3W)$ n'a pas de cohomologie équivariante. On le savait déjà pour $S^3\mathcal{L}$. Les suites de cohomologie équivariante associées nous fournissent alors :

$$\mathrm{H}^q((I^3)_3\otimes\mathcal{O}(1,\ldots,1))^G\simeq\mathrm{H}^q((I^2)_3\otimes\mathcal{O}(1,\ldots,1))^G$$

pour $q \ge 0$ et

$$H^q(I^3 \otimes \mathcal{O}(1,\ldots,1))^G \simeq H^q(S^3W \otimes \mathcal{O}(1,\ldots,1))^G$$

pour $q \ge 0$.

Alors l'espace recherché $\mathrm{H}^0((I^3)_3\otimes\mathcal{O}(1,\ldots,1))^G$ s'obtient comme le noyau du morphisme

$$\alpha: \mathrm{H}^0(S^3W \otimes \mathcal{O}(1,\ldots,1))^G \to \mathrm{H}^0(\mathrm{gr}_1(S^3W) \otimes \mathcal{O}(1,\ldots,1))^G$$

et puisque $H^1(S^3W \otimes \mathcal{O}(1,\ldots,1))^G = 0$, l'espace $H^1((I^3)_3 \otimes \mathcal{O}(1,\ldots,1))^G$ s'obtient comme son conoyau.

Toute la suite sera consacrée à l'étude minutieuse du morphisme α , afin de déterminer son noyau.

Pour bien comprendre la situation, on examinera d'abord le cas m=2, qui est essentiel pour pouvoir comprendre le cas m général, dans un premier temps sans tensoriser avec le fibré inversible $\mathcal{O}(1,\ldots,1)$.

5 Le noyau du morphisme α

Dans les sections 5.1-5.5 suivantes on peut choisir X comme étant une surface lisse quasi-projective.

5.1 Le gradué $gr_1(S^3W)$

On se propose de décrire le gradué $\operatorname{gr}_1(S^3W)$, dans le cas m=2, L fibré inversible sur X. Dans ce cas les ouverts indexés par un étoile coïncident avec les espaces entiers, D est la diagonale Δ de $X\times X$, $\mathcal{L}=L_D=L_\Delta$ et il n'y a pas de confusion si on le note toujours L. Ici $W=L_1\oplus L_2$. Le gradué $\operatorname{gr}_i(\operatorname{Sym} W)$ est un $\operatorname{Sym} L$ -module; pour i=0, c'est l'algèbre $\operatorname{Sym} L$. On a vu aussi que $\operatorname{gr}_1(\operatorname{Sym} W)$ est \mathcal{N}_D en degré 0 et V_D en degré 1.

Pour comprendre $\operatorname{gr}_1(S^kW)$ on regarde les k+1 morphismes canoniques de $S^kW|_D\to L^{\otimes k}$ qui sont construits de la manière suivante : on considère les deux morphismes canoniques $W|_D=L\oplus L\to L$ dont l'un, ϵ_+ , est donné par la matrice (id,id) et l'autre, ϵ_- , est donné par la matrice (id,-id); c'est le morphisme ϵ considéré au paragraphe 4.1. On obtient un isomorphisme $\epsilon:W|_D\to L\oplus L$ défini par (ϵ_+,ϵ_-) et par suite un isomorphisme

$$S^k \varepsilon : S^k W|_D \to S^k (L \oplus L) = L^{\otimes k} \oplus \cdots \oplus L^{\otimes k}$$

dont la *i*-ème composante dans la somme directe est notée $\varepsilon_{i,k-i}$. La dernière composante $\varepsilon_{k,0}$ envoie $e_1^i e_2^{k-i}$ en $(-1)^{k-i} e^k$ avec pour $e, e_1 = p_1^*(e), e_2 = p_2^*(e)$ des repères locaux de L, L_1 et respectivement L_2 , et s'étend donc en un morphisme d'algèbres $\operatorname{Sym} W \to \operatorname{Sym} L$ qui n'est autre que le morphisme d'algèbres considéré auparavant, ε_- .

L'avant-dernière composante $\varepsilon_{k-1,1}$ définit une dérivation $\operatorname{Sym} W \to \operatorname{Sym} L$ compatible avec la graduation. En degré $k, \varepsilon_{k-1,1}$ envoie $e_1^i e_2^{k-i}$ sur $(i(-1)^{k-i} + (k-i)(-1)^{k-i-1})e^k$ et $\operatorname{Sym} L$ est vu comme $\operatorname{Sym} W$ -module par l'intermédiaire du morphisme ϵ_- . On vérifie alors que

$$\varepsilon_{k-1,1}(xy) = \varepsilon_{k-1,1}(x)\epsilon_-(y) + \epsilon_-(x)\varepsilon_{k-1,1}(y)$$

et comme $\epsilon_{-}(I) = 0$ on obtient que le noyau de $\varepsilon_{k-1,1}$ contient F^2 . Donc $\varepsilon_{k-1,1}$ passe au quotient en une dérivation linéaire sur l'algèbre $\operatorname{Sym} L$, notée encore $\epsilon_{+} : \operatorname{gr}_{1}(\operatorname{Sym} W)) \to \operatorname{Sym} L$ qui est elle aussi compatible avec la graduation; cette propriété, jointe au fait qu'on connaît déjà ϵ_{+} sur $V_{D} = \operatorname{gr}_{1}(W)$, caractérise la dérivation ϵ_{+} .

Le faisceau conormal à D, \mathcal{N}_D , est isomorphe au faisceau Ω^1 des formes différentielles sur X. Un tel isomorphisme s'obtient en associant à la différentielle df d'une fonction régulière sur un ouvert U de X, la

section de \mathcal{N}_D définie par la classe $[f_2 - f_1]$ où $f_i = pr_i^*(f)$. L'image directe par p de la suite (7), écrite en degré k est (c'est un cas particulier de la proposition 4.2):

$$0 \to \mathcal{N} \otimes L^{\otimes k} \to \operatorname{gr}_1(\mathbf{S}^k W) \to K \otimes L^{\otimes (k-1)} \to 0$$

et comme ici $K \simeq L$ on obtient une suite exacte de \mathcal{O}_X -modules

$$0 \to \Omega^1 \otimes L^{\otimes k} \to \operatorname{gr}_1(S^k W) \to L^{\otimes k} \to 0 \tag{10}$$

où la première flèche se calcule de la manière suivante : pour $f \in \mathcal{O}(U)$ et $s \in H^0(U, L^{\otimes k})$,

$$df \otimes s \mapsto \frac{1}{2}[(f_2 - f_1)(s_1 + (-1)^k s_2)] = (-1)^k [(f_2 - f_1)s_2]$$

où s_i est la section de S^kW sur $U \times U$ définie par $pr_i^*(s)$. La seconde flèche est ϵ_+ . En effet $\frac{1}{2}(s_1 + (-1)^k s_2)$ est une section de S^kW dont l'image par ϵ_- est s (et c'est aussi le cas pour $(-1)^k s_2$).

5.2 Les opérateurs ∇ et Δ

On considère l'opérateur \mathbb{C} -linéaire $\nabla: L^{\otimes k} \to \operatorname{gr}_1 S^k W$ qui associe à une section s la classe $\nabla(s)$ de la section de $F^1 S^k W$ définie par $(-1)^k s_2 - s_1$; autrement dit

$$\nabla(s) = [(-1)^k s_2 - s_1]$$
 (on vérifie que $\epsilon_-(\nabla(s)) = 0$).

On a
$$\nabla(1) = [pr_2^*1 - pr_1^*1] = 0.$$

Lemme 5.1 Cet opérateur n'est pas linéaire, mais satisfait à la condition $\nabla(fs) = df \otimes s + f \nabla(s)$ où f est une fonction régulière sur un ouvert $U \subset X$ et s est une section locale de $L^{\otimes k}$ sur U. Dans cette formule $\Omega^1 \otimes L^{\otimes k}$ est vu comme sous-module de $\operatorname{gr}_1 S^k W$ par l'inclusion de la suite (10).

Preuve:

Par définition:

$$\nabla(fs) = [(-1)^k f_2 s_2 - f_1 s_1] = [(-1)^k (f_2 - f_1) s_2 + f_1 ((-1)^k s_2 - s_1)] =$$

$$= df \otimes s + f \nabla(s).$$

Ceci signifie que ∇ est un opérateur différentiel linéaire d'ordre 1. Ce qu'on va utiliser c'est que $-\frac{\nabla}{2k}$ est une section \mathbb{C} -linéaire de ϵ_+ dans la suite (10), en vérifiant par un calcul direct que $-\frac{1}{2k}\epsilon_+(\nabla(s)) = s$.

Au passage on peut remarquer que ∇ se factorise en un morphisme \mathcal{O}_X -linéaire, $\bar{\nabla}: J^1L^k \to \operatorname{gr}_1(S^kW)$ (J^1L^k est le fibré des jets à valeurs dans $L^{\otimes k}$, avec sa structure naturelle de \mathcal{O}_X -module à gauche) qui rend commutatif le diagramme

Les deux flèches extrêmes sont des isomorphismes, donc la flèche du milieu est un isomorphisme. Cet isomorphisme induit en particulier, pour k = 1, un isomorphisme $J^1L \to V_D$.

Considérons maintenant deux indices i et j tels que i + j = k. Soient $s \in H^0(U, L^{\otimes i})$ et $t \in H^0(U, L^{\otimes j})$ deux sections locales au-dessus du même ouvert U. On considère les sections s_k de S^iW et t_k de S^jW définies par image réciproque par pr_k (pour k = 1, 2) et la section de gr_1S^kW :

$$D(s,t) = [(-1)^{i} s_{2} t_{1} - (-1)^{j} s_{1} t_{2}].$$

Comme $\epsilon_{-}(D(s,t)) = 0$, la quantité entre crochets appartient à F^1S^kW et par conséquent la formule a un sens.

Lemme 5.2 Soient s et t comme ci-dessus. On a dans $gr_1(\operatorname{Sym} W)$, considéré comme $\operatorname{Sym} L$ -module :

$$\nabla(st) = \nabla(s)t + s\nabla(t)
D(s,t) = \nabla(s)t - s\nabla(t)$$

Preuve:

Compte-tenu de la définition de l'homomorphisme $\epsilon_-: W|_D \to L$, on a dans Sym W:

$$(-1)^k \nabla(st) = [s_2 t_2 - (-1)^k s_1 t_1] = [(s_2 - (-1)^i s_1) t_2 + (-1)^i s_1 (t_2 - (-1)^j t_1)]$$
$$= (-1)^k (\nabla(s)t + s\nabla(t))$$

De même

$$(-1)^{i}[s_{2}t_{1}-(-1)^{k}s_{1}t_{2}]=[(-1)^{i}(s_{2}-(-1)^{i}s_{1})t_{1}]-(-1)^{j}[s_{1}(t_{2}-(-1)^{j}t_{1})]$$

compte-tenu de la définition de la structure multiplicative dans l'algèbre bigraduée $\operatorname{gr}(\operatorname{Sym} W)$ et que $\operatorname{gr}_0(\operatorname{Sym} W) = \operatorname{Sym} L$, ceci n'est autre que $\nabla(s)t - s\nabla(t)$.

Corollaire 5.3 Soit k = i + j, et l = i - j. L'opérateur différentiel $(s, t) \mapsto -l\nabla(st) + kD(s, t)$ prend ses valeurs dans $\Omega^1 \otimes L^{\otimes k}$.

Ceci résulte du fait que $\epsilon_+(\nabla(s)) = -2ks$ si s est une section locale de $L^{\otimes k}$: parce que ϵ_+ est une dérivation, ceci entraı̂ne en effet que $\epsilon_+(-l\nabla(st)+kD(s,t))=0$.

5.3 Le morphisme $\alpha_2: \mathrm{H}^0(X \times X, \mathrm{S}^k W)^{\tau} \to \mathrm{H}^0(X, \mathrm{gr}_1(\mathrm{S}^k W))^{\tau}$

On suppose k impair. Soit τ la transposition (12) et désignons par $H^0(S^kW)^{\tau}$ l'espace des sections de $H^0(S^kW)$ invariantes sous l'action de τ . Puisque dans le cas où k est impair, le gradué $\operatorname{gr}_0(S^kW)$ n'a pas de cohomologie équivariante, ces sections invariantes définissent des sections de F^1S^kW , d'où le morphisme α_2 . En outre, les sections de $\operatorname{gr}_1(S^kW)$ sont invariantes pour l'action de τ , puisque pour k-1 pair, τ agit trivialement sur tous les gradués de sa filtration déduite de (4) (voir cor. 5.8). On a un isomorphisme canonique

$$\bigoplus_{i>j,i+j=k} \mathrm{H}^0(L^{\otimes i}) \otimes_{\mathbb{C}} \mathrm{H}^0(L^{\otimes j}) \simeq \mathrm{H}^0(\mathrm{S}^k W)^{\tau}$$

donné par $s \otimes t \mapsto s_1 t_2 + s_2 t_1$ pour $s \in H^0(L^{\otimes i})$ et $t \in H^0(L^{\otimes j})$.

Désignons par $\mu: H^0(L^{\otimes i}) \otimes H^0(L^{\otimes j}) \to H^0(L^{\otimes k})$ la multiplication et considérons pour k > 1 le scindage de la suite (10) sur les sections globales :

$$\mathrm{H}^0(\mathrm{gr}_1\mathrm{S}^kW)\simeq\mathrm{H}^0(\Omega^1\otimes L^{\otimes k})\oplus\mathrm{H}^0(L^{\otimes k})$$

défini sur le premier facteur par l'inclusion canonique, et sur le deuxième facteur par la section $s \mapsto \nabla(s)$.

Si $s \in H^0(X, L^{\otimes i}) \otimes H^0(X, L^{\otimes j})$ on pose $\Delta_l(s) = D(s) - \frac{l}{k} \nabla \mu(s)$ pour l = i - j et i + j = k. Pour l = k on obtient que $\Delta_l(s) = 0$ puisque pour s décomposable en $m \otimes 1$, $\Delta_l(s) = \nabla(m) \cdot 1 - m \cdot \nabla(1) - \nabla(m) = 0$.

Proposition 5.4 La matrice de α_2 dans ces décompositions est donnée par

$$\begin{pmatrix} 0 & \cdots & (-1)^{\frac{k+l}{2}} \Delta_l & \cdots & (-1)^{\frac{k+1}{2}} \Delta_1 \\ 2k & \cdots & -(-1)^{\frac{k+l}{2}} 2l\mu & \cdots & -(-1)^{\frac{k+1}{2}} 2\mu \end{pmatrix}.$$

Preuve:

On part d'une section $S \in H^0(S^kW)^{\tau}$ qui provient d'une section de $H^0(X, L^{\otimes i}) \otimes H^0(X, L^{\otimes j})$ avec i+j=k, i-j=l. Supposons aussi que $j\neq 0$ et que cette section se décompose en $s\otimes t$ avec $s\in H^0(L^{\otimes i})$ et $t\in H^0(L^{\otimes j})$. Alors S s'écrit dans $H^0(S^kW)^{\tau}$ comme $s_1t_2+t_1s_2$ et son image par α_2 dans $H^0(\operatorname{gr}_1S^kW)$ est la classe $[s_1t_2+t_1s_2]$ modulo F^2S^kW .

Si i est pair et j impair, $[s_1t_2+t_1s_2]=D(s,t)$ et la composante dans $\mathrm{H}^0(L^{\otimes k})$ est $\epsilon_+(D(s,t))$. Mais $\epsilon_+(-l\nabla(st)+kD(s,t))=0$ donc $\epsilon_+(D(s,t))=\frac{l}{k}\epsilon_+(\nabla(st))=\frac{l}{k}\cdot(-2k\mu(s\otimes t))=-2l\mu(s\otimes t)$. Si i est impair on obtient l'opposé. Si l=k alors $j=0, s\in\mathrm{H}^0(L^{\otimes k})$ et son écriture dans $\mathrm{H}^0(\mathrm{S}^kW)^{\tau}$ est s_1+s_2 . Son image par α_2 est $[s_1+s_2]=-\nabla(s)$ et $\epsilon_+(-\nabla(s))=2ks$. D'où la deuxième ligne de la matrice.

Pour trouver la composante dans $\mathrm{H}^0(\Omega^1\otimes L^{\otimes k})$ il suffit de soustraire l'image réciproque par la section $-\frac{1}{2k}\nabla$ du morphisme ϵ_+ de la composante dans $\mathrm{H}^0(L^{\otimes k})$. Par exemple pour i pair on fait $D(s,t)-(-\frac{1}{2k}\nabla(\epsilon_+(D(s,t))))=D(s,t)+\frac{1}{2k}\nabla(-2lst)=\Delta_l(S)$. Pour i impair on trouve l'opposé et pour j=0: $-\nabla(s)+\frac{1}{2k}\nabla(2ks)=0$, d'où la première ligne. \square

Corollaire 5.5 Si k = 3, le noyau et le conoyau de α_2 sont isomorphes respectivement au noyau et au conoyau de l'opérateur linéaire

$$3D - \nabla \mu : \mathrm{H}^0(L^{\otimes 2}) \otimes \mathrm{H}^0(L) \to \mathrm{H}^0(\Omega^1 \otimes L^{\otimes 3}).$$

Preuve:

La matrice de α_2 s'écrit ici

$$\left(\begin{array}{cc} 0 & \Delta_1 = D - \frac{1}{3}\nabla\mu \\ 6 & -2\mu \end{array}\right)$$

ce qui conduit immédiatement à l'énoncé.□

5.4 Généralisation à $Hilb^m(X)$

Le cas général repose essentiellement sur le cas m=2. Il faut considérer les invariants par rapport au groupe symétrique $G=\mathfrak{S}_m$ mais on a donné dans les préliminaires, paragraphe 2.1, le procédé qui nous ramène à des calculs d'invariants plus aisés.

$\textbf{5.4.1} \quad \textbf{Description de} \quad \mathrm{H}^0(X^m_*, \mathrm{gr}_1(\mathrm{S}^kW))^G$

Le faisceau $\operatorname{gr}_1(\operatorname{Sym} W)$ a pour support la diagonale D de X_*^m . Le groupe symétrique agit sur la situation. Soit U_{12} le complémentaire de la réunion des diagonales $\Delta_{i,j}$ pour $\{i,j\} \neq \{1,2\}$ dans X_*^m . Cet ouvert contient uniquement la diagonale $\Delta_{1,2} = \Delta \times X^{m-2} \cap X_*^m$. On note $W_{12} = (L_1 \oplus L_2)|_{U_{12}}$ et $W^{12} = (L_3 \oplus \cdots \oplus L_m)|_{U_{12}}$ de sorte que $W|_{U_{12}} = (W_{12} \oplus W^{12})|_{U_{12}}$.

Proposition 5.6 On a

$$\operatorname{gr}_k(\operatorname{Sym} W)|_{\Delta_{12}} \simeq \bigoplus_{i+j=k} \operatorname{gr}_i(\operatorname{Sym} W_{12}) \otimes \operatorname{S}^j W^{12}[-j].$$

Preuve:

Le produit tensoriel peut être vu comme un produit tensoriel sur \mathbb{C} , ou bien comme un produit tensoriel externe, si, plutôt qu'utiliser W_{12} et W^{12} on utilise $W'_{12} = L_1 \oplus L_2$ sur $X \times X$ et $W^{12\prime} = L_3 \oplus \cdots \oplus L_m$ sur X^{m-2} . On a $W_{12} = pr^*_{12}(W'_{12})|_{U_{12}}$, $W^{12} = pr^*_{3\cdots m}(W^{12\prime})|_{U_{12}}$ et $W'_{12} \boxtimes W^{12\prime} = W_{12} \otimes W^{12}$. La notation $S^jW^{12}[-j]$ signifie qu'on place S^jW^{12} en degré j.

Le morphisme ε devient en restriction à U_{12} :

$$\epsilon|_{U_{12}}: \operatorname{Sym} W|_{U_{12}} \to \operatorname{Sym} L|_{U_{12}} = \operatorname{Sym} L_{\Delta}|_{\Delta_{12}}$$

et, puisque $\operatorname{Sym} W|_{U_{12}} = \operatorname{Sym} W_{12} \otimes \operatorname{Sym} W^{12} = \operatorname{Sym} W'_{12} \boxtimes \operatorname{Sym} W^{12}$, ce morphisme est aussi un produit tensoriel externe des morphismes

$$\epsilon_{12}: \operatorname{Sym} W'_{12} \to \operatorname{Sym} L_{\Delta}$$

de noyau I_{12} , qui recopie la situation étudiée dans le cas où m était égal à 2, et

$$\epsilon_{3\cdots m}: \operatorname{Sym} W^{12\prime} \to \mathcal{O}_{X^{m-2}}$$

qui vaut l'identité en degré 0 et 0 en degré ≥ 1 , de noyau (Sym $W^{12\prime}$) ≥ 1 .

On filtre $\operatorname{Sym} W'_{12}$ par les puissances de I_{12} et $\operatorname{Sym} W^{12\prime}$ par les puissances de $(\operatorname{Sym} W^{12\prime})_{\geq 1}$ qui sont égales aux $(\operatorname{Sym} W^{12\prime})_{\geq i}$.

Le noyau de $\epsilon|_{U_{12}}$ s'écrit alors comme

$$I = I_{12} \boxtimes \operatorname{Sym} W^{12\prime} + \operatorname{Sym} W'_{12} \boxtimes \operatorname{Sym} W^{12\prime}_{>1}$$

et sa puissance k-ième

$$I^k = \sum_{i+j=k} I^i_{12} \boxtimes \operatorname{Sym} W^{12\prime}_{\geq j}.$$

On veut calculer I^k/I^{k+1} . Le calcul de ce gradué se fait à l'aide du lemme 2.2 du paragraphe préliminaire. La condition cohomologique d'annulation est vérifiée en vertu du lemme préliminaire 2.3.

On trouve

$$\operatorname{gr}_k(\operatorname{Sym} W)|_{\Delta_{12}} \simeq I^k/I^{k+1}|_{U_{12}} \simeq \bigoplus_{i+j=k} \operatorname{gr}_i(\operatorname{Sym} W_{12}) \otimes \operatorname{S}^j W^{12}[-j].\square$$

Corollaire 5.7 On a un isomorphisme

$$H^0(X_*^m, \operatorname{gr}_k(\operatorname{Sym} W))^G \simeq \bigoplus_{i+j=k} (H^0(X^2, \operatorname{gr}_i(\operatorname{Sym} W_{12}))^{\sigma_2} \otimes H^0(X^{m-2}, \operatorname{S}^j W^{12})^{\sigma_{m-2}}[-j]).$$

Preuve du corollaire:

Appliquons le résultat du lemme 2.1 pour $M = \mathrm{H}^0(X_*^m, \mathrm{gr}_k(\mathrm{Sym}\,W))$ et pour l'ensemble d'indices $I = \{\{i,j\}\}_{1 \leq i < j \leq m}$ sur lequel G agit. Prenons $L_{1,2} = \mathrm{gr}_k(\mathrm{Sym}\,W)|_{U_{12}}$, calculé par la proposition 5.6, et $L_{i,j}$ le fibré similaire sur la diagonale $\Delta_{ij} : \mathrm{gr}_k(\mathrm{Sym}\,W)|_{\Delta_{ij}}$. L'espace M^G s'obtient en prenant les invariants de $M_{1,2}$, pour le stabilisateur de $\{1,2\}$, $\mathrm{Stab}\,\{1,2\} = \sigma_2 \times \sigma_{m-2}$. Le complémentaire de l'ouvert $\Delta_{i,j}$ dans $\Delta \times X^{m-2}$ est de codimension ≥ 2 , donc pour le calcul de l'espace des sections $\mathrm{H}^0(\mathrm{gr}_i(\mathrm{Sym}\,W_{12})\otimes \mathrm{S}^jW^{12}[-j])$ on peut se placer sur $\Delta \times X^{m-2}$, où on applique le théorème de Künneth. Puisque σ_2 n'agit pas sur ce qui provient de X^{m-2} et σ_{m-2} n'agit pas sur ce qui provient de X^2 , on a

$$\mathrm{H}^{0}(\mathrm{gr}_{i}(\mathrm{Sym}\,W_{12})\otimes \mathrm{S}^{j}W^{12}[-j])^{\sigma_{2}\times\sigma_{m-2}}=\mathrm{H}^{0}(\mathrm{gr}_{i}(\mathrm{Sym}\,W_{12}))^{\sigma_{2}}\otimes \mathrm{H}^{0}(\mathrm{S}^{j}W^{12})^{\sigma_{m-2}}[-j]$$

d'où le résultat.

Corollaire 5.8 Pour l-k impair, le faisceau $gr_k(S^lW)$ n'a pas de sections invariantes sous l'action de G.

Preuve:

En effet $\operatorname{gr}_i(\operatorname{S}^lW_{12})$ n'a pas de sections invariantes sous l'action de σ_2 si l-i est impair puisque dans la filtration déduite de (4), aucun de ses gradués n'a des sections invariantes (σ_2 agit par (-1) sur le fibré conormal de la diagonale dans $X \times X$ et sur L, et trivialement sur K donc par $(-1)^{2q+l-i}$ sur $\operatorname{gr}_q(\operatorname{gr}_i(\operatorname{S}^lW_{12}))$). Mais

$$\operatorname{gr}_k(S^l W) \simeq \bigoplus_{i+j=k} \operatorname{gr}_i(S^{l-j} W_{12}) \otimes S^j W^{12}$$

et donc si l-i-j=l-k est impair, $\operatorname{gr}_i(S^{l-j}W_{12})$ n'a pas de sections invariantes sous l'action de G. On avait déjà utilisé ce corollaire dans la section $4.3.\square$

On a tout fait pour comprendre que pour l impair

$$H^{0}(\operatorname{gr}_{1}S^{l}W)^{G} = H^{0}(\operatorname{gr}_{1}S^{l}W_{12})^{\sigma_{2}} \oplus \left[H^{0}(\operatorname{gr}_{0}S^{l-1}W_{12})^{\sigma_{2}} \otimes H^{0}(W^{12})^{\sigma_{m-2}}\right]
= H^{0}(J^{1}L^{\otimes l}) \oplus \left[H^{0}(L^{\otimes (l-1)}) \otimes H^{0}(L)\right]
= H^{0}(\Omega^{1} \otimes L^{\otimes k}) \oplus H^{0}(L^{\otimes k}) \oplus H^{0}(L^{\otimes (l-1)}) \otimes H^{0}(L).$$
(11)

Les invariants de $H^0(X^m, S^l W)$ se calculent facilement mais l'écriture est lourde pour l élevé. On préfère donc se limiter dans la suite au seul cas qui nous intéresse l=3.

On a

$$S^{3}W = \bigoplus_{i=1}^{n} L_{i}^{\otimes 3} \oplus \bigoplus_{i \neq j} (L_{i}^{\otimes 2} \otimes L_{j}) \oplus \bigoplus_{i < j < k} (L_{i} \otimes L_{j} \otimes L_{k})$$

et la même proposition appliquée à $I=\{1,2,\ldots,m\}$ et les fibrés $L_i^{\otimes 3}$, ensuite à $I=\{(i,j)\}_{1\leq i,j\leq m}$ et $L_{(i,j)}=L_i^{\otimes 2}\otimes L_j$ et finalement à $I=\{\{i,j,k\}\}_{1\leq i< j< k\leq m}$ et $L_{\{i,j,k\}}=L_i\otimes L_j\otimes L_k$, nous prouve que

$$H^{0}(X, L^{\otimes 3}) \oplus \left[H^{0}(X, L^{\otimes 2}) \otimes H^{0}(X, L)\right] \oplus S^{3}H^{0}(X, L) = H^{0}(X^{m}, S^{3}W)^{\mathfrak{S}_{m}}$$

$$\tag{12}$$

l'isomorphisme étant donné par

$$(s, t \otimes u, vzw) \mapsto (\sum_{i} s_i, \sum_{1 \leq i < j \leq m} (t_i u_j + t_j u_i), \sum_{i \neq j \neq k, i \neq k} v_i z_j w_k)$$

(naturellement $s_i = pr_i^*(s)$, et de même pour t_i , u_i , v_i , z_i , w_i).

En effet, comme $H^0(X^m, L_i^{\otimes 3}) = H^0(X, L^{\otimes 3})$ par la formule de Künneth (car $L_i = pr_i^*L \otimes (\otimes_{j \neq i} pr_j^* \mathcal{O}_X)$) toutes les sections de $L_i^{\otimes 3}$ sur X^m sont en effet des images réciproques $pr_i^*(s)$ avec s section de $L^{\otimes 3}$ sur X. Comme $H^0(X^m, \bigoplus_{i=1}^m L_i^{\otimes 3})^{\mathfrak{S}_m} = H^0(X^m, L_1)^{\sigma_{m-1}}$ et que le stabilisateur de 1 n'agit pas sur $pr_1^*(s)$ on obtient que $H^0(X^m, L_1^{\otimes 3})^{\sigma_{m-1}} = H^0(X, L^{\otimes 3})$ et de manière analogue les autres termes dans la décomposition. Le terme $S^3H^0(X, L)$ s'obtient puisqu'il faut considérer le stabilisateur de $\{1, 2, 3\}$ en tant qu'ensemble, c'està-dire $\sigma_3 \times \sigma_{m-3}$ et

$$(\mathrm{H}^0(X^m,L_1)\otimes\mathrm{H}^0(X^m,L_2)\otimes\mathrm{H}^0(X^m,L_3))^{\sigma_3}=\mathrm{S}^3\mathrm{H}^0(X,L).$$

On dispose comme précédemment des opérateurs

$$\nabla: L^{\otimes l} \to \operatorname{gr}_1(S^l W)$$

défini par $\nabla(s) = \sum_{i < j} \nabla_{ij}(s)$ et

$$D: \Gamma(U, L^{\otimes p}) \times \Gamma(U, L^{\otimes q}) \to \Gamma(U \times \cdots \times U, gr_1(S^l W))$$

défini pour p + q = l et U ouvert de X par $D(s,t) = \sum_{i < j} D_{ij}(s,t)$.

Ici ∇_{ij} et D_{ij} sont définis sur les ouverts U_{ij} contenant la seule diagonale Δ_{ij} exactement comme ∇ et D dans le cas m=2, et jouissent des même propriétés :

$$\nabla_{ij}: L^{\otimes l} \to \operatorname{gr}_1 S^l W$$

défini par $s \mapsto [-s_i + (-1)^l s_j]$ où $s_i = pr_i^*(s)$ et

$$D_{ij}: \Gamma(U, L^{\otimes p}) \times \Gamma(U, L^{\otimes q}) \to \Gamma((U \times \cdots \times U) \cap U_{ij}, \operatorname{gr}_1 S^l W)$$

défini par $(s,t) \mapsto [(-1)^p s_i t_j - (-1)^q s_j t_i]$ où $t_i = pr_i^*(t)$.

La proposition qui suit est l'analogue de la proposition 5.4 :

Proposition 5.9 Dans les sommes directes (11) et (12), la matrice du morphisme canonique :

$$\alpha_m : \mathrm{H}^0(X^m, \mathrm{S}^3W)^G \to \mathrm{H}^0(X^m, \mathrm{gr}_1(\mathrm{S}^3W))^G$$

s'écrit

$$\left(\begin{array}{ccc}
0 & \Delta & 0 \\
6 & -2\mu & 0 \\
0 & 2id & -2\nu
\end{array}\right)$$

où ν est le morphisme canonique $S^3H^0(L) \to H^0(L^{\otimes 2}) \otimes H^0(L)$ induit par l'application linéaire stu \mapsto st \otimes $u + su \otimes t + ut \otimes s$. Dans ce contexte $\Delta = D - \frac{1}{3}\nabla\mu$.

Preuve:

Afin de calculer la première colonne de la matrice de α_m , considérons une section locale s de $L^{\otimes 3}$ sur un ouvert U. La section définie par $s_1+s_2+\cdots+s_m$ est \mathfrak{S}_m -invariante. C'est une section \mathfrak{S}_m -invariante de F^1S^3W , ou bien une section $\sigma_2\times\sigma_{m-2}$ -invariante de $F^1S^3W|_{U_{12}}=F^1S^3W|_{12}\oplus S^2W|_{12}\otimes W^{12}\oplus W|_{12}\otimes S^2W^{12}\oplus S^3W^{12}$. Modulo $F^2S^3W|_{U_{12}}$ on obtient $[s_1+s_2]\in\operatorname{gr}_1(S^3W|_{12})$ (puisque $s_3+\cdots+s_m\in S^3W^{12}$ qui est inclus dans $F^2S^3W|_{U_{12}}$).

Son image dans la décomposition de $H^0(\operatorname{gr}_1\operatorname{S}^l W))^G$ est $(-\nabla(s),0)$. Si on décompose encore $H^0(J^1L^3)=H^0(\Omega^1\otimes L^{\otimes 3})\oplus H^0(L^{\otimes 3})$, d'après le résultat trouvé dans le cas m=2, on obtient la première colonne de la matrice comme (0,6,0).

Pour la deuxième colonne, considérons deux sections $s \in \Gamma(U, L^{\otimes 2})$ et $t \in \Gamma(U, L)$. La section définie par $\sum_{1 \leq i < j \leq m} (s_i t_j + s_j t_i) = s_1 t_2 + s_2 t_1 + (s_1 + s_2)(t_3 + \dots + t_m) + (t_1 + t_2)(s_3 + \dots + s_m) + \sum_{3 \leq i < j \leq m} (s_i t_j + s_j t_i)$ est \mathfrak{S}_m -invariante. On procède comme auparavant. Modulo $F^2S^3W|_{U_{12}}$, il reste seulement les deux premiers termes de cette expression $:D_{12}(s,t) = [s_1 t_2 + s_2 t_1] \in \operatorname{gr}_1S^3W_{12}$ et $[s_1 + s_2]t \in \operatorname{gr}_1(S^2W_{12}) \otimes (W^{12})^{\sigma_{m-2}}$. La classe $[s_1 + s_2]$ modulo $F^2S^2W_{12} = S^2I_{12}$ est son image dans $S^2L_\Delta = L_\Delta^{\otimes 2}$ soit 2s. Au total, en utilisant aussi la décomposition de D(s,t) trouvée dans le cas m=2 on obtient $(\Delta, -2\mu, 2id)$.

Finalement, la troisième colonne s'obtient en partant de trois sections s, t, u de L sur un ouvert U. La section $\sum_{i \neq j \neq k, i \neq k} s_i t_j u_k$ s'écrit comme

$$(s_1t_2 + s_2t_1)(u_3 + \dots + u_m) + (s_1u_2 + s_2u_1)(t_3 + \dots + t_m) + (t_1u_2 + t_2u_1)(s_3 + \dots + s_m) + \left[(s_1 + s_2) \sum_{3 \le i \ne j \le m} t_i u_j \right] + \left[(t_1 + t_2) \sum_{3 \le i \ne j \le m} s_i u_j \right]$$

$$+ \left[(u_1 + u_2) \sum_{3 \le i \ne j \le m} s_i t_j \right] + \sum_{3 \le i \ne l \ne k \le m, i \ne k} s_i t_j u_k$$

et elle est \mathfrak{S}_m -invariante. La classe dans $\operatorname{gr}^1S^3W|_{U_{12}}$ de sa restriction à U_{12} est $[(s_1t_2+s_2t_1)(u_3+\cdots+u_m)]+[(s_1u_2+s_2u_1)(t_3+\cdots+t_m)]+[(t_1u_2+t_2u_1)(s_3+\cdots+s_m)]$ et chacune de ces composantes appartient à $S^2W_{12}\otimes W^{12}$. Le reste appartient à $F^2S^3W|_{U_{12}}$. Pour trouver leurs images dans $\operatorname{gr}_0(S^2W_{12})\otimes L$ on regarde les images de $s_1t_2+s_2t_1$, $s_1u_2+s_2u_1$ et $t_1u_2+t_2u_1$ dans $L_{\Delta}^{\otimes 2}$ par le morphisme $S^2W_{12}\to L_{\Delta}^{\otimes 2}$. Or $s_it_j\mapsto -st$. La troisième colonne s'écrit $(0,0,-2\nu)$ où ν est le morphisme canonique $S^3H^0(L)\to H^0(L^{\otimes 2})\otimes H^0(L)$ induit par l'application linéaire $stu\mapsto st\otimes u+su\otimes t+ut\otimes s$. \square

Corollaire 5.10 Pour $m \geq 3$, l'espace vectoriel des sections $H^0(S^3V_L)$ sur l'ouvert $Hilb_*^m(X)$ est isomorphe à $S^3H^0(L)$ et l'espace vectoriel de cohomologie $H^1(S^3V_L)$ est isomorphe à $H^0(\Omega^1 \otimes L^{\otimes 3})$.

Preuve du corollaire:

Les espaces considérés sont le noyau et respectivement le conoyau du morphisme α_m . Il faut voir qu'ils coïncident avec le noyau et respectivement le conoyau du morphisme nul :

$$\Delta \nu : \mathrm{S}^3 \mathrm{H}^0(L) \to \mathrm{H}^0(\Omega^1 \otimes L^{\otimes 3})$$

En effet, si s est une section de L, on a $\nu(s^3)=3s^2\otimes s$ et l'image de cette classe par Δ est nulle : $3D(s^2,s)-\nabla(s^3)=3\Delta(s^2)s-3s^2\nabla(s)-\nabla(s^2)s-s^2\nabla(s)=2\nabla(s^2)s-4s^2\nabla(s)=0$. Comme ces sections engendrent $S^3H^0(L)$, ceci prouve que le morphisme $\Delta\nu$ est nul.

On voit que, si $(a, b, c) \in H^0(X^m, S^3W)^G$, alors

$$\begin{pmatrix} 0 & \Delta & 0 \\ 6 & -2\mu & 0 \\ 0 & 2id & -2\nu \end{pmatrix} \begin{pmatrix} a \\ b \\ c \end{pmatrix} = \begin{pmatrix} 0 \\ 0 \\ 0 \end{pmatrix} \iff \begin{cases} \Delta b = 0 \\ 6a - 2\mu b = 0 \\ 2b - 2\nu c = 0 \end{cases}$$
$$\iff \begin{cases} a = \frac{\mu b}{3} \\ \Delta \nu c = 0 \\ b = \nu c \end{cases}$$

Par suite Ker $\alpha_m \simeq \text{Ker } \Delta \nu \simeq S^3 H^0(L)$ et

$$\begin{pmatrix} 0 & \Delta & 0 \\ 6 & -2\mu & 0 \\ 0 & 2id & -2\nu \end{pmatrix} \begin{pmatrix} a \\ b \\ c \end{pmatrix} = \begin{pmatrix} a' \\ b' \\ c' \end{pmatrix} \iff \begin{cases} \Delta b = a' \\ 6a - 2\mu b = b' \\ 2b - 2\nu c = c' \end{cases}$$

$$\iff \begin{cases} a = \frac{b' + 2\mu b}{6} \\ 2a' - 2\Delta\nu c = \Delta c' \\ 2b - 2\nu c = c' \end{cases}$$

Par suite $(a',b',c') \in \operatorname{Im}\alpha_m \iff 2a' - \Delta c' \in \operatorname{Im}\Delta\nu$ et donc coker $\alpha_m \simeq \operatorname{coker}\Delta\nu$. Compte-tenu de la remarque préliminaire, coker $\alpha_m \simeq \operatorname{H}^0(\Omega^1 \otimes L^{\otimes 3})$. \square

5.5 Introduction du fibré déterminant

On considère un autre fibré inversible A sur X auquel est associé un fibré vectoriel $\mathcal{A} = \boxtimes_i A_i$ sur X^m et un fibré inversible quotient $\mathcal{A}/\mathfrak{S}_m$ sur S^mX . On désigne par \mathcal{D} le fibré image réciproque de $\mathcal{A}/\mathfrak{S}_m$ sur $\mathrm{Hilb}^m(X)$ par le morphisme de $\mathrm{Hilbert}$ -Chow $\mathrm{Hilb}^m(X) \to S^mX$. Le problème est de déterminer l'espace vectoriel des sections de $S^3V \otimes \mathcal{D}$. Le calcul des invariants de $\mathrm{H}^0(S^3W \otimes \mathcal{A})^G$ est aisé. Il suffit d'appliquer plusieurs fois la proposition 2.1. On tient compte de $\mathrm{Stab}\{1\} = \sigma_1 \times \sigma_{m-1}$, $\mathrm{Stab}\{(12)\} = id_{(12)} \times \sigma_{m-2}$ et $\mathrm{Stab}\{1,2,3\} = \sigma_3 \times \sigma_{m-3}$ et on obtient

$$H^{0}(S^{3}W \otimes \mathcal{A})^{\mathfrak{S}_{m}} = H^{0}(L_{1}^{\otimes 3} \otimes A_{1} \otimes \cdots \otimes A_{m})^{\sigma_{1} \times \sigma_{m-1}} \\
\oplus H^{0}(L_{1}^{\otimes 2} \otimes A_{1} \otimes L_{2} \otimes A_{2} \otimes A_{3} \otimes \cdots \otimes A_{m})^{id_{(12)} \times \sigma_{m-2}} \\
\oplus H^{0}(L_{1} \otimes A_{1} \otimes L_{2} \otimes A_{2} \otimes L_{3} \otimes A_{3} \otimes \cdots \otimes A_{m})^{\sigma_{3} \times \sigma_{m-3}} \\
= H^{0}(L^{\otimes 3} \otimes A) \otimes S^{m-1}(H^{0}(A)) \\
\oplus H^{0}(L^{\otimes 2} \otimes A) \otimes H^{0}(L \otimes A) \otimes S^{m-2}(H^{0}(A)) \\
\oplus S^{3}H^{0}(L \otimes A) \otimes S^{m-3}(H^{0}(A)) \tag{13}$$

En restriction à l'ouvert U_{12} on a un isomorphisme :

$$J^{1}L^{3} \otimes A^{\otimes 2} \boxtimes (A_{3} \otimes \cdots \otimes A_{m}) \oplus L_{\Delta}^{2} \otimes A^{\otimes 2} \boxtimes (\oplus_{i \geq 3} L_{i} \otimes (A_{3} \otimes \cdots \otimes A_{m})) \stackrel{\simeq}{\to} \operatorname{gr}_{1}S^{3}W \otimes \mathcal{A}$$

qui est dû au fait que $\operatorname{gr}_1(S^3W\otimes \mathcal{A})=\operatorname{gr}_1(S^3W)\otimes \mathcal{A}$. En utilisant la même proposition 2.1 et en tenant compte de Stab $\{3\}=\sigma_{m-3}$ on obtient

$$H^{0}(\operatorname{gr}_{1}S^{3}W \otimes \mathcal{A})^{\mathfrak{S}_{m}} = H^{0}(\operatorname{gr}_{1}S^{3}W \otimes \mathcal{A}|_{U_{12}})^{\sigma_{2} \times \sigma_{m-2}} =
= [H^{0}(J^{1}L^{3} \otimes A^{\otimes 2}) \otimes S^{m-2}(H^{0}(A))]
\oplus [H^{0}(L^{\otimes 2} \otimes A^{\otimes 2}) \otimes H^{0}(L_{3} \otimes A_{3} \otimes \cdots \otimes A_{m})^{\sigma_{m-3}}]
= [H^{0}(J^{1}L^{3} \otimes A^{\otimes 2}) \otimes S^{m-2}(H^{0}(A))]
\oplus [H^{0}(L^{\otimes 2} \otimes A^{\otimes 2}) \otimes H^{0}(L \otimes A) \otimes S^{m-3}(H^{0}(A))]$$
(14)

Remarque 5.11 Une section rationnelle est une section régulière sur un ouvert partout dense. Donc ∇ et D se prolongent de manière évidente aux sections rationnelles du fibré $L^{\otimes k}$ et la formule $\nabla(sf) = df \otimes s + f \nabla(s)$ est vraie pour f fonction rationnelle sur X, et s section rationnelle de $L^{\otimes k}$.

Proposition 5.12 La matrice du morphisme canonique

$$\alpha: \mathrm{H}^{0}(\mathrm{S}^{3}W \otimes \mathcal{A})^{\mathfrak{S}_{m}} \to \mathrm{H}^{0}(\mathrm{gr}_{1}\mathrm{S}^{3}W \otimes \mathcal{A})^{\mathfrak{S}_{m}}$$

dans les décompositions ci-dessus est de la forme

$$\left(\begin{array}{ccc} \widetilde{\nabla} & \widetilde{D} & 0 \\ 0 & \rho & \widetilde{\nu} \end{array}\right)$$

Les morphismes ρ et $\widetilde{\nu}$ sont $\mathcal{O}(X)$ -linéaires et caractérisés par

$$\rho(s \otimes t \otimes a^{\otimes_{\mathbb{C}}(m-2)}) = 2sa \otimes t \otimes a^{\otimes_{\mathbb{C}}(m-3)}$$

lorsque $s \in H^0(L^{\otimes 2} \otimes A)$, $t \in H^0(L \otimes A)$ et $a \in H^0(A)$,

$$\widetilde{\nu} = -2\nu \otimes id_{\mathbf{S}^{m-3}(\mathbf{H}^0(A))}.$$

où ν est l'opérateur défini au 5.9 relatif à $L\otimes A$.

Enfin le morphisme \widetilde{D} est caractérisé, pour s section rationnelle de $L^{\otimes 2}$, t section rationnelle de L et $a \in H^0(A)$ tel que $sa \in H^0(L^{\otimes 2} \otimes A)$ et $ta \in H^0(L \otimes A)$, par la formule

$$\widetilde{D}(sa\otimes_{\mathbb{C}}ta\otimes_{\mathbb{C}}a^{\otimes_{\mathbb{C}}(m-2)})=D(s,t)a^2\otimes_{\mathbb{C}}a^{\otimes_{\mathbb{C}}(m-2)}$$

et le morphisme $\widetilde{\nabla}: \mathrm{H}^0(L^{\otimes 3} \otimes A) \otimes_{\mathbb{C}} \mathrm{S}^{m-1}\mathrm{H}^0(A) \to \mathrm{H}^0(\mathrm{gr}_1(\mathrm{S}^3W_{12}) \otimes A^{\otimes 2}) \otimes_{\mathbb{C}} \mathrm{S}^{m-2}\mathrm{H}^0(A)$ est caractérisé par :

 $\widetilde{\nabla}(sa\otimes_{\mathbb{C}}a^{\otimes_{\mathbb{C}}(m-1)}) = -\nabla(s)a^2\otimes a^{\otimes_{\mathbb{C}}(m-2)}$

où s est une section rationnelle de $L^{\otimes 3}$ et $a \in \mathrm{H}^0(A)$ tel que $sa \in \mathrm{H}^0(L^{\otimes 3} \otimes A)$.

Remarque 5.13 Les sections particulières qu'on a considérées pour décrire \widetilde{D} et $\widetilde{\nabla}$ sont des générateurs des espaces vectoriels sur lesquels sont définis ces morphismes. Comme les morphismes \widetilde{D} et $\widetilde{\nabla}$ existent ils sont caractérisés par l'image de ces générateurs. Puisqu'elles proviennent de morphismes bien définis, les images de ces générateurs, qui sont a priori des sections rationnelles, sont bien des sections régulières.

À partir des expressions données, on peut facilement déduire les expressions de \widetilde{D} et $\widetilde{\nabla}$ sur des sections de la forme $S \otimes_{\mathbb{C}} T \otimes_{\mathbb{C}} a^{\otimes_{\mathbb{C}}(m-2)} = \frac{S}{a} a \otimes_{\mathbb{C}} \frac{T}{a} a \otimes_{\mathbb{C}} a^{\otimes_{\mathbb{C}}(m-2)}$ ou $S \otimes_{\mathbb{C}} a^{\otimes_{\mathbb{C}}(m-1)} = \frac{S}{a} a \otimes_{\mathbb{C}} a^{\otimes_{\mathbb{C}}(m-1)}$ en utilisant les propriétés des opérateurs ∇ et D, pour obtenir ensuite les expressions sur des sections générales par polarisation, comme dans la remarque 5.14. Ces expressions seront utilisées dans les lemmes 5.18 et 5.19.

Preuve de la proposition:

Pour la première colonne soit $\gamma \in H^0(L^{\otimes 3} \otimes A) \otimes S^{m-1}H^0(A)$. D'après la remarque il suffit de traiter le cas où $\gamma = sa \otimes_{\mathbb{C}} a^{\otimes_{\mathbb{C}}(m-1)}$ avec pour s une section rationnelle de $L^{\otimes 3}$ et $a \in H^0(A)$ tel que $sa \in H^0(L^{\otimes 3} \otimes A)$. Il suffit de prouver l'égalité de l'énoncé sur l'ouvert $U \times U \times \cdots \times U$, U étant un ouvert de X où s est régulière et a est inversible. La section invariante de $S^3W \otimes \mathcal{A}$ correspondante est alors

 $S = s_1 a_1 \otimes a_2 \cdots a_m + s_2 a_2 \otimes a_1 a_3 \cdots a_m + \cdots + s_m a_m \otimes a_1 \cdots a_{m-1} \text{ où } s_i = pr_i^*(s) \text{ et } a_i = pr_i^*(a). \text{ Comme les fibrés considérés sont inversibles les produits tensoriels s'identifient aux produits symétriques et on peut écrire cette section comme <math>(s_1 + s_2 + \cdots + s_m)a_1a_2 \cdots a_m$. L'image de S dans $F^1S^3W \otimes \mathcal{A}|_{U_{12}}$ sera alors $(s_1 + s_2)a_1 \cdots a_m + (s_3 + \cdots + s_m)a_1 \cdots a_m$. Le deuxième terme appartient à $F^2S^3W \otimes \mathcal{A}|_{U_{12}}$ et l'image du premier terme modulo $F^2S^3W_{12} \otimes \mathcal{A}$ est $-\nabla(s)a_1a_2 \otimes a_3 \cdots a_m$ dans $\operatorname{gr}_1(S^3W_{12}) \otimes A_1 \otimes A_2 \boxtimes A_3 \otimes \cdots \otimes A_m$ soit $-\nabla(s)a^2 \otimes a_3 \cdots a_m$ dans $\operatorname{gr}_1(S^3W_{12}) \otimes A_2^2 \boxtimes A_3 \otimes \cdots \otimes A_m$ (car $A_1|_{\Delta_{12}} = A_2|_{\Delta_{12}} = A_\Delta$) ou encore $-\nabla(s)a^2 \otimes_{\mathbb{C}} a^{\otimes_{\mathbb{C}}(m-2)}$ dans $\operatorname{H}^0(\operatorname{gr}_1(S^3W_{12}) \otimes A^{\otimes 2}) \otimes_{\mathbb{C}} \operatorname{S}^{(m-2)}\operatorname{H}^0(A)$. D'où la première colonne de la matrice comme $(\widetilde{\nabla}, 0)$.

On procède de la même manière pour les autres colonnes. Soient $a \in H^0(A)$, s une section rationnelle de $L^{\otimes 2}$ et t une section rationnelle de L, telles que $sa \in H^0(L^{\otimes 2} \otimes A)$ et $ta \in H^0(L \otimes A)$. Partons d'une section de la forme $sa \otimes ta \otimes a^{\otimes_{\mathbb{C}}(m-2)}$ de $H^0(L^{\otimes 2} \otimes A) \otimes_{\mathbb{C}} H^0(L \otimes A) \otimes_{\mathbb{C}} S^{m-2}H^0(A)$ comme dans l'énoncé. On se restreint à un ouvert $U \times U \times \cdots \times U$, U étant un ouvert de X où s et t sont régulières et a est inversible. La section invariante correspondante s'écrit

$$\left[(s_1t_2 + s_2t_1) \prod_i a_i \right] + \left[(s_1 + s_2) \sum_{i=3}^m t_i \prod_i a_i \right] + \left[(t_1 + t_2) \sum_{i=3}^m s_i \prod_i a_i \right] + \left[\sum_{3 \le i < j \le m} (s_it_j + s_jt_i) \prod_i a_i \right].$$

Le premier terme appartient à $F^1S^3W_{12}\otimes \mathcal{A}$, le deuxième à $S^2W_{12}\otimes \mathcal{M}^{12}\otimes \mathcal{A}$, le troisième à $W_{12}\otimes S^2W^{12}\otimes \mathcal{A}$, et le dernier à $S^3W^{12}\otimes \mathcal{A}$, donc son image dans

$$\operatorname{gr}_1 S^3 W_{12} \otimes A^2 \boxtimes A_3 \otimes \cdots \otimes A_m \oplus L_{\Delta}^{\otimes 2} \boxtimes L_3 \otimes A_3 \otimes \cdots \otimes A_m$$

est

$$D(s,t)a^2 \otimes a_3 \cdots a_m + 2sa^2 \otimes t_3 a_3 \cdots a_m$$

soit

$$D(s,t)a^2 \otimes a^{m-2} + 2Sa \otimes T \otimes a^{m-3}$$

dans

$$[\mathrm{H}^0(J^1L^3\otimes A^{\otimes 2})\otimes \mathrm{S}^{m-2}(\mathrm{H}^0(A))]\oplus [\mathrm{H}^0(L^{\otimes 2}\otimes A^{\otimes 2})\otimes \mathrm{H}^0(L\otimes A)\otimes \mathrm{S}^{m-3}(\mathrm{H}^0(A))]$$

où S = sa, T = ta.

Soient $a \in H^0(A)$, s, t, u des sections rationnelles de L telles que $sa, ta, ua \in H^0(L \otimes A)$. On se restreint à un ouvert $U \times U \times \cdots \times U$, U étant un ouvert de X où s, t et u sont régulières et a est inversible. Si on part d'une section $sa \cdot ta \cdot ua \otimes a^{m-3}$ de $S^3H^0(L \otimes A) \otimes S^{m-3}H^0(A)$, on obtient la section invariante :

$$\left[(s_1t_2 + s_2t_1) \sum_{i=3}^{m} u_i \prod_i a_i \right] + \left[(s_1u_2 + s_2u_1) \sum_{i=3}^{m} t_i \prod_i a_i \right] + \left[(t_1u_2 + t_2u_1) \sum_{i=3}^{m} s_i \prod_i a_i \right] + \left[(s_1 + s_2) \sum_{3 \le i \ne j \le m} t_i u_j \prod_i a_i \right] + \left[(t_1 + t_2) \sum_{3 \le i \ne j \le m} s_i u_j \prod_i a_i \right] + \left[(u_1 + u_2) \sum_{3 \le i \ne j \le m} t_i s_j \prod_i a_i \right] + \left[\sum_{3 \le i \ne j \le m, i \ne k} s_i t_j u_k \prod_i a_i \right].$$

La classe dans $\operatorname{gr}_1(S^3W \otimes \mathcal{A})|_{U_{12}}$ de sa restriction à U_{12} est

$$[(s_1t_2 + s_2t_1)a_1a_2 \otimes (u_3 + \dots + u_m)a_3 \dots a_m] + [(s_1u_2 + s_2u_1)a_1a_2 \otimes (t_3 + \dots + t_m)a_3 \dots a_m] + [(u_1t_2 + u_2t_1)a_1a_2 \otimes (s_3 + \dots + s_m)a_3 \dots a_m]$$

et chacune de ces composantes appartient à $\operatorname{gr}_0(S^2W_{12}\otimes A)\otimes W^{12}\otimes A_3\otimes\cdots\otimes A_m$. Le reste est dans $F^2S^3W\otimes \mathcal{A}|_{U_{12}}$.

Comme on l'a déjà vu, l'image dans $H^0(U, L^{\otimes 2} \otimes A^{\otimes 2}) \otimes H^0(U, L \otimes A) \otimes S^{m-3}H^0(U, A)$ est $-2sata \otimes ua \otimes a^{m-3} - 2saua \otimes ta \otimes a^{m-3} - 2uata \otimes sa \otimes a^{m-3}$ donc si S = sa, T = ta, U = ua, $\widetilde{\nu}$ associe à $STU \otimes a^{m-3} \mapsto -2(ST \otimes U \otimes a^{m-3} + SU \otimes T \otimes a^{m-3} + UT \otimes S \otimes a^{m-3})$, et la troisième colonne de la matrice s'écrit $(0, \widetilde{\nu})$. \square

Remarque 5.14 Par polarisation on peut trouver l'expression de ρ sur des sections différentes, où $\check{a_i}$ signifie qu'on omet le terme a_i de l'expression :

$$\rho(S \otimes T \otimes a_3 a_4 \cdots a_m) = \frac{1}{m-2} \sum_{i=3}^m S a_i \otimes T \otimes a_3 \cdots \check{a_i} \cdots a_m.$$

5.6 Sections de $S^3V_3 \otimes \mathcal{D}$

On prend $L = \mathcal{O}(3)$, et $A = \mathcal{O}(1)$ sur $X = \mathbb{P}_2$. Alors

$$L^{\otimes 3} \otimes A = \mathcal{O}(10)$$

$$L^{\otimes 3} \otimes A^{\otimes 2} = \mathcal{O}(11)$$

$$L^{\otimes 2} \otimes A = \mathcal{O}(7)$$

$$L \otimes A = \mathcal{O}(4)$$

$$L^{\otimes 2} \otimes A^{\otimes 2} = \mathcal{O}(8).$$

On pose $E = H^2(\mathbb{P}_2, \mathcal{O}(1))$ et on suppose que $m \ge 13$ (afin que $a = m - 2 \ge b = 11$). Pour nous m = n + 9 avec $n \ge 11$. Cela marche aussi pour $n \ge 6$, et cela donne deux façons de faire le calcul pour $6 \le n \le 11$.

On veut calculer le noyau du morphisme α :

$$\left[\mathbf{H}^{0}(L^{\otimes 3} \otimes A) \otimes \mathbf{S}^{m-1}(\mathbf{H}^{0}(A)) \right] \oplus \left[\mathbf{H}^{0}(L^{\otimes 2} \otimes A) \otimes \mathbf{H}^{0}(L \otimes A) \otimes \mathbf{S}^{m-2}(\mathbf{H}^{0}(A)) \right] \oplus \left[\mathbf{S}^{3}\mathbf{H}^{0}(L \otimes A) \otimes \mathbf{S}^{m-3}(\mathbf{H}^{0}(A)) \right]$$

$$\rightarrow \left[\mathbf{H}^{0}(J^{1}L^{3} \otimes A^{\otimes 2}) \otimes \mathbf{S}^{m-2}(\mathbf{H}^{0}(A)) \right] \oplus \left[\mathbf{H}^{0}(L^{\otimes 2} \otimes A^{\otimes 2}) \otimes \mathbf{H}^{0}(L \otimes A) \otimes \mathbf{S}^{m-3}(\mathbf{H}^{0}(A)) \right]$$

donné par la matrice de la proposition 5.12 :

$$\left(\begin{array}{ccc}
\widetilde{\nabla} & \widetilde{D} & 0 \\
0 & \rho & \widetilde{\nu}
\end{array}\right)$$

Ici $H^0(\Omega^1 L^3 \otimes A^{\otimes 2}) = S^{10,1}E$ se calcule à partir de la suite exacte d'Euler. Le morphisme $H^0(\operatorname{gr}_1(S^3W_{12}) \otimes A^{\otimes 2}) \to H^0(L^{\otimes 3} \otimes A^{\otimes 2}) = S^{11}E$ est un morphisme surjectif puisque non nul et que $H^0(L^{\otimes 3} \otimes A^{\otimes 2})$ est une représentation irréductible, d'où un scindage de la suite exacte

$$0 \to \mathrm{H}^0(\Omega^1 L^3 \otimes A^{\otimes 2}) \to \mathrm{H}^0(\mathrm{gr}_1(\mathrm{S}^3 W_{12}) \otimes A^{\otimes 2}) \to \mathrm{H}^0(L^{\otimes 3} \otimes A^{\otimes 2}) \to 0.$$

Cela entraı̂ne $H^0(\operatorname{gr}_1(S^3W_{12})\otimes A^{\otimes 2})=S^{10}E\otimes E$.

Avant le résultat final on va donner deux lemmes préliminaires :

Lemme 5.15 Le morphisme D'

est conjugué au morphisme composé des contractions naturelles.

Preuve du lemme:

Il suffit de montrer que D' est surjectif. On a vu que $\epsilon_+(D(s,t)) = -2st$ donc $\epsilon_+(D(s,t)a^2) = -2sta^2$, donc le morphisme composé $\epsilon_+ \circ D'$ de $H^0(L^{\otimes 2} \otimes A) \otimes_{\mathbb{C}} H^0(L \otimes A) = S^7 E \otimes S^4 E$ dans $H^0(L^{\otimes 3} \otimes A^{\otimes 2}) = S^{11} E$ est conjugué au morphisme de multiplication des sections, et il est par suite non nul.

Si on se place sur l'ouvert U défini par $X \neq 0$, $Y \neq 0$ et on considère les sections $s = Z^6$, $t = Z^3$, a = X, fa = Y avec $f = \frac{Y}{X}$, comme

$$D'(sa \otimes tfa) = D(s, tf)a^2 = fD(s, t)a^2 - stdfa^2$$

et

$$D'(sfa \otimes ta) = D(fs, t)a^2 = fD(s, t)a^2 + stdfa^2,$$

on obtient que

$$D'(sfa \otimes ta - sa \otimes tfa) = 2stdfa^2.$$

Ces sections sont en effet globales et ceci montre que $D'(Z^6Y\otimes Z^3X-Z^6X\otimes Z^3Y)$ est non nul et appartient à $\mathrm{H}^0(\Omega^1L^3\otimes A^{\otimes 2})$, vu comme sous-espace de $\mathrm{H}^0(\mathrm{gr}_1(\mathrm{S}^3W)\otimes A^{\otimes 2})$. Le morphisme D' est donc non nul sur chacune des composantes irréductibles de la représentation $\mathrm{S}^{10}E\otimes E$, donc il est surjectif. \square

Lemme 5.16 L'image de Ker \widetilde{D} par le morphisme ρ est incluse dans l'image de $\widetilde{\nu}$.

Preuve du lemme : On rappelle que $\widetilde{D} = D' \otimes id$. On sait que D' est conjugué au morphisme composé des contractions naturelles $S^7E \otimes S^4E \to S^{10}E \otimes E$. On a un diagramme commutatif :

$$\mathbf{S}^{7}E \otimes \mathbf{S}^{4}E \otimes \mathbf{S}^{m-2}E \quad \xrightarrow{\rho} \quad \mathbf{S}^{8}E \otimes \mathbf{S}^{4}E \otimes \mathbf{S}^{m-3}E$$

$$\downarrow^{D' \otimes id} \qquad \qquad \downarrow^{D'' \otimes id}$$

$$\mathbf{S}^{10}E \otimes E \otimes \mathbf{S}^{m-2}E \quad \xrightarrow{\rho'} \quad \mathbf{S}^{11}E \otimes E \otimes \mathbf{S}^{m-3}E$$

dans lequel les flèches verticales D' et D'' sont les composées de contractions naturelles entre premier et second facteur, et les flèches horizontales ρ et ρ' sont des contractions entre premier et troisième facteur.

Il en résulte que $\rho(\text{Ker }D'\otimes id)$ est contenu dans $\text{Ker }(D''\otimes id)$. Ce dernier noyau est évidemment $(S^{10,2}E+S^{9,3}E+S^{8,4}E)\otimes S^{m-3}E$ lequel est bien contenu dans l'image de $\widetilde{\nu}$, d'après le lemme 2.7 de la section préliminaire. \square

Proposition 5.17 – (i) L'espace des sections Ker $\alpha = H^0(S^3 \mathcal{V}_3 \otimes \mathfrak{d})$ est isomorphe à Ker $(\widetilde{\nabla}, \widetilde{D}) \oplus \text{Ker } \widetilde{\nu}$. – (ii) Sur l'ouvert $\text{Hilb}_*^m(\mathbb{P}_2)$ considéré, coker $\alpha = H^1(S^3 \mathcal{V}_3 \otimes \mathfrak{d})$ est isomorphe à coker $(\widetilde{\nabla}, \widetilde{D}) \oplus \text{coker } \widetilde{\nu}$.

Preuve:

Cela revient à vérifier que dans la suite exacte du serpent associé au diagramme

avec $\mathfrak{A} = S^{10}E \otimes S^{m-1}E$, $\mathfrak{B} = S^7E \otimes S^4E \otimes S^{m-2}E$, $\mathfrak{C} = S^3(S^4E) \otimes S^{m-3}E$, $\mathfrak{D} = S^{10}E \otimes E \otimes S^{m-2}E$, $\mathfrak{E} = S^8E \otimes S^4E \otimes S^{m-3}E$, c'est à dire dans la suite :

$$0 \to \operatorname{Ker} \, \widetilde{\nu} \to \operatorname{Ker} \, \alpha \to \operatorname{Ker} \, (\widetilde{\nabla}, \widetilde{D}) \overset{(0, \rho)}{\to} \operatorname{coker} \, \widetilde{\nu} \to \operatorname{coker} \, \alpha \to \operatorname{coker} \, (\widetilde{\nabla}, \widetilde{D}) \to 0$$

le morphisme de liaison $(0, \rho)$ est nul. Cela revient à vérifier que l'image de Ker $(\widetilde{\nabla}, \widetilde{D})$ par $(0, \rho)$ est contenue dans l'image de $\widetilde{\nu}$.

On dispose également d'une suite exacte :

Lemme 5.18 *Le morphisme* β *est surjectif.*

Preuve du lemme:

Pour cette preuve on peut en effet montrer seulement que les éléments u de la forme $\omega^3 a \otimes a_2 \cdots a_m$ ont un antécédent par β , où $\omega \in H^0(L)$ et $a, a_2, \ldots, a_m \in H^0(A)$ (on rappelle que $L = \mathcal{O}(3)$ et $A = \mathcal{O}(1)$ mais on préfère travailler ici avec les fibrés quelquonques L et A de départ pour une meilleure compréhension) et ceci puisque sur \mathbb{P}_2 le morphisme naturel $S^3H^0(L) \otimes H^0(A) \otimes S^{m-1}H^0(A) \to H^0(L^{\otimes 3} \otimes A) \otimes S^{m-1}H^0(A)$ est surjectif et les éléments considérés engendrent $S^3H^0(L) \otimes H^0(A) \otimes S^{m-1}H^0(A)$. On prend $v = \sum_{i=2}^m (2\omega^2 a \otimes_{\mathbb{C}} \omega a_i + \omega^2 a_i \otimes_{\mathbb{C}} \omega a) \otimes a_2 \cdots a_i \cdots a_m$ et on remarque que $(u, -v) \in \text{Ker}(\widetilde{\nabla}, \widetilde{D})$ est une préimage de u par β . Rappelons que la notation a_i signifie qu'on omet le terme a_i de l'expression. On utilise les formules de $\widetilde{\nabla}$

et \widetilde{D} sur des sections différentes déduites de celles données dans l'énoncé de la prop. 5.12, par polarisation, comme dans les remarques 5.13 et 5.14 :

$$\widetilde{\nabla}(f \otimes a_2 \cdots a_m) = \sum_{i=2}^m \nabla(\frac{f}{a_i}) a_i^2 \otimes a_2 \cdots \check{a}_i \cdots a_m$$

et

$$\widetilde{D}(s \otimes t \otimes a_3 \cdots a_m) = \nabla(\frac{s}{t})t^2 \otimes a_3 \cdots a_m$$

et le calcul nous donne que $\widetilde{\nabla}(u) + \widetilde{D}(-v) = \widetilde{\nabla}(u) - \widetilde{\nabla}(u) = 0.\square$

Lemme 5.19 L'image par le morphisme $(0, \rho)$ de la préimage par β d'un élément de \mathfrak{A} est contenue dans l'image de $\widetilde{\nu}$.

Preuve du lemme:

Dans le lemme précédent on a trouvé un antécédent v pour chaque générateur de \mathfrak{A} . Comme deux antécédents d'un élément u de \mathfrak{A} diffèrent par un élément de $\mathrm{Im}\gamma$, et que $(0,\rho)(\mathrm{Im}\gamma)\subset\mathrm{Im}\widetilde{\nu}$ (lemme 5.16), il suffit de trouver un antécédent w par $\widetilde{\nu}$ de la section $\rho(v)=\sum_{i\neq j}(2\omega^2aa_j\otimes\omega a_i+\omega^2a_ia_j\otimes\omega a_i)\otimes a_2\cdots a_i\cdots a_j\cdots a_m$. On prend $w=\sum_{i\neq j}(\omega a\cdot\omega a_i\cdot\omega a_j)\otimes a_2\cdots a_i\cdots a_j\cdots a_m$ et on vérifie bien que $\widetilde{\nu}(w)=\rho(v).\square$

Ceci montre que $(0, \rho)(\operatorname{Ker}(\widetilde{\nabla}, \widetilde{D})).\square$

5.7 Calcul final

Le résultat de la proposition 5.17 nous donne

$$\dim \mathcal{H}^{0}(S^{3}\mathcal{V}_{3}\otimes\mathfrak{d}) = \dim\mathfrak{A} + \dim \operatorname{Ker}\widetilde{D} + \dim \operatorname{Ker}\widetilde{\nu} =$$

$$= \dim S^{10}E\otimes S^{n+8}E + \dim S^{7}E\otimes S^{4}E\otimes S^{n+7}E - \dim S^{10}E\otimes E\otimes S^{n+7}E +$$

$$+ \dim S^{n+6}E(\dim S^{6,6}E + \dim S^{7,4,1}E + \dim S^{8,2,2}E + \dim S^{6,4,2}E + \dim S^{4,4,4}E).$$

À partir de ce résultat et des annulations de la cohomologie supérieure indiquées dans la démonstration du corollaire 4.10 remplacées dans la suite spectrale associée à la résolution (2) de $S^3\mathcal{R} \otimes \mathfrak{d}$, on obtient une suite exacte

$$0 \to \Lambda^{3}(S^{3}E) \otimes H^{0}(\mathfrak{d}) \to \Lambda^{2}(S^{3}E) \otimes H^{0}(\mathcal{V}_{3} \otimes \mathfrak{d}) \to S^{3}E \otimes H^{0}(S^{2}\mathcal{V}_{3} \otimes \mathfrak{d}) \to$$
$$\to H^{0}(S^{3}\mathcal{V}_{3} \otimes \mathfrak{d}) \to H^{0}(S^{3}\mathcal{R} \otimes \mathfrak{d}) \to 0$$

D'où encore

$$\dim \mathcal{H}^{0}(S^{3}\mathcal{R} \otimes \mathfrak{d}) = \dim \mathcal{H}^{0}(S^{3}\mathcal{V}_{3} \otimes \mathfrak{d}) - 10(\dim S^{7}E \otimes S^{n+8}E + \dim S^{2}(S^{4}E) \otimes S^{n+7}E)$$

$$- \dim S^{8}E \otimes S^{n+7}E + 45\dim S^{4}E \otimes S^{n+8}E - 120\dim S^{n+9}E$$

$$= \frac{1}{2}(n+1)(n+2)$$

et cela pour tout n tel que $6 \le n \le 19$. On voit que dans ce cas on couvre aussi le résultat obtenu au corollaire 4.10 pour l=2.

6 Conclusion

Pour étendre les résultats ci-dessus au cas $n \ge 20$, on a besoin

- 1) d'étendre le théorème d'annulation de la cohomologie supérieure des fibrés $S^k \mathcal{V} \otimes \mathfrak{d}$ sur le schéma de Hilbert $Hilb^m(\mathbb{P}_2)$;
 - 2) de faire intervenir $H^0(\operatorname{gr}_i(S^lW) \otimes \mathfrak{d})$ (pour $i \geq 2$) pour le calcul de $H^0(S^lV_k \otimes \mathfrak{d})$, pour $l \geq 3$.

Remerciements: Les explications détaillées de J. Le Potier et l'aide de N. Dan ont rendu possible ce texte. Une faute grave dans le texte initial m'a été signalée par C. Mourougane. Je les remercie, ainsi que D. Roessler, pour leur lecture patiente et les nombreuses corrections.

Références

- [Barth] W. Barth, Some properties of rank-2 bundles on \mathbb{P}_n , Math. Annalen **226** (1976) 125-150.
- [Barth2] W. Barth, Moduli of vector bundles on projective plane, Inventiones math. 42 (1977) 63-91.
- [Bott] R. Bott, Homogeneous vector bundles, Ann. of Math.(2) 66 (1957) 203-248.
- [Bourbaki] N. Bourbaki, Éléments de mathématiques, fascicule VII, livre II, Algèbre, chapitre 3, Algèbre multilinéaire, Hermann (1958).
- [C-K-M] H. Clemens, J. Kollàr and S. Mori, Higher Dimensional Complex Geometry, Astérisque 166 (1988), page 52, thm.8.3.
- [D] G. Danila, Sur la cohomologie du fibré tautologique sur le schéma de Hilbert Hilb^m(\mathbb{P}_2), Prépublication de l'Institut de Mathématiques de Jussieu,(avril,1999).
- [Demailly] *J-P. Demailly*, Vanishing theorems for tensor power of an ample vector bundle Invent. Math. **91** (1988) no 1, 203-220.
- [E-S] G. Ellingsrud and S. A. Strømme, On the homology of the Hilbert scheme of points in the plane, Invent. Math. 87 (1987) 343-352.
- [F-H] W. Fulton and J. Harris, Representation Theory, Springer-Verlag, 1996.
- [Grot] A. Grothendieck, Local cohomology, Lecture Notes Series 41 (1967).
- [Hart] R. Hartshorne, Algebraic Geometry, Graduate Texts in Mathematics 52, Springer-Verlag 1977.
- [He] Min He, Espaces de modules de systèmes cohérents, Int. J. of Maths., Vol 9, 5 (1998) 545-598.
- [LeP-Bergen] J. Le Potier, Fibré déterminant et courbes de saut sur les surfaces algébriques, Complex projective Geometry, London Mathematical Society, Lecture Notes Series 179 (1992) 213-240.
- [LeP-Durham] J. Le Potier, Faisceaux semi-stables et systèmes cohérents, Proceedings de la Conference de Durham (juillet 1993), Cambridge University Press 1995, 179-239.
- [LiE] M. A. A. van Leeuwen, A. M. Cohen and B. Lisser, LiE, A Package for Lie Group Computations, Manual, included in the LiE software distribution, Computer Algebra Nederland, Amsterdam 1992.
- [SGA-6] A. Grothendieck, P. Berthelot et L. Illusie, Séminaire de Géométrie Algébrique 6, Lecture Notes Series 225 (1971).

Gentiana Danila

Institut de Mathématiques de Jussieu UMR 7586 du CNRS, Case Postale 7012 2, Place Jussieu 75251 Paris Cedex O5

e-mail : gentiana@math.jussieu.fr